

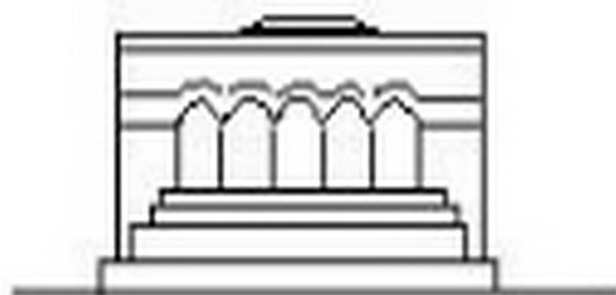
ՄԵՆԱՆԻՇՍ



МЕХАНИКА



MECHANICS



1966

А. М. ГАСПАРЯН, С. М. ИСАКЯН, А. А. ОГАНЕСЯН

## О ПАДЕНИИ ШАРИКА ПО ОСИ ВЕРТИКАЛЬНОЙ ТРУБЫ, ЗАПОЛНЕННОЙ ВЯЗКОЙ ЖИДКОСТЬЮ

### § 1. Введение

Работа посвящена определению влияния цилиндрических стенок, ограничивающих область падения шарика, на скорость его падения и выяснению механизма этого влияния. С этой целью рассмотрено установившееся падение шарика по оси вертикальной трубы, заполненной вязкой жидкостью, когда плотность шарика больше плотности жидкости, а число Рейнольдса, отнесенное к радиусу шарика, меньше 0.5.

В аналогичных условиях свободное падение шарика исследовано, как известно, Стоксом и Озееном [1]. Рассматриваемой задаче посвящены работы Ладенбурга, Факсена, Вакия, Анпеля, Кавагути, Абермана и др. [2—5]. В этих работах с тем или иным приближением определено сопротивление падению шарика. Как правило, все эти решения негодны при  $\frac{\alpha}{R} \rightarrow 1$ . Результаты вычислений разных авторов при

$\frac{\alpha}{R} \rightarrow 1$  расходятся также между собой (табл. 1). С еще большими трудностями связано вычисление поля скоростей.

Для уточнения упомянутых решений и построения эпюр скоростей в области между шаром и стенками цилиндра и выполнена настоящая работа.

### § 2. Постановка задачи

Для решения поставленной задачи здесь рассмотрено обтекание шарика вязкой жидкостью, заполняющей цилиндрическую трубу, которая движется вместе с жидкостью снизу вверх с постоянной скоростью  $U_0$ . Следовательно, относительная скорость шарика равна  $-U_0$  и направлена сверху вниз.

В условиях динамического равновесия действующих на шарик сил движение является установившимся.

Решение задачи приведено к определению линий тока и области между шариком и стенками цилиндра.

Учтя доказательство Озеена о справедливости уравнений Стокса для случая, когда жидкость не во все три стороны распространяется бесконечно [6], задача решена с помощью линеаризованных уравнений Стокса без шерционных членов.

Функция тока для этой задачи удовлетворяет уравнению

$$\left( \frac{\partial^2}{\partial r^2} - \frac{1}{r} \frac{\partial}{\partial r} + \frac{\partial^2}{\partial z^2} \right) \psi(r, z) = 0 \quad (1)$$

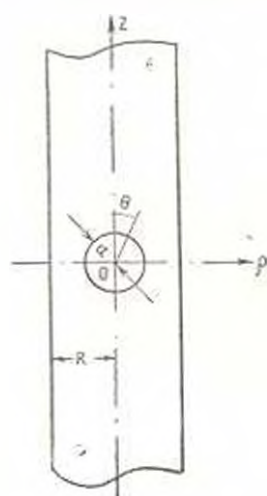
в цилиндрических координатах или уравнению

$$\left[ \frac{\partial^2}{\partial r^2} - \frac{\sin^2 \theta}{r^2} \frac{\partial}{\partial \theta} \left( \frac{1}{\sin \theta} \frac{\partial}{\partial \theta} \right) \right] \Psi(r, \theta) = 0 \quad (1')$$

в сферических координатах (фиг. 1), причем

$$\psi(r \cos \theta, r \sin \theta) = \Psi(r, \theta).$$

Граничные условия для  $\psi$  и  $\Psi$  таковы:



Фиг. 1.

$$\left. \begin{aligned} \psi(R, z) &= Q \\ \frac{\partial \psi}{\partial r}(R, z) &= 0 \end{aligned} \right\} \quad (2)$$

$$\left. \begin{aligned} \psi(0, z) &= 0 \\ \frac{\partial \psi}{\partial r} \Big|_{r=0} &= -Q \end{aligned} \right\} \quad (3)$$

$$\left. \begin{aligned} \Psi(a, \theta) &= 0 \\ \frac{\partial \Psi}{\partial r}(a, \theta) &= 0 \end{aligned} \right\} \quad (4)$$

С помощью найденных значений функции  $\psi$  можно определить сопротивление при падении шарика.

Задачу будем решать альтернирующим методом [7].

В качестве нулевого приближения возьмем функцию тока Стоксова обтекания шара [1], т. е.

$$\Psi_0 = \tau U_0 \sin^2 \theta \left( r^2 - \frac{3}{2} ar + \frac{1}{2} \frac{a^3}{r} \right).$$

$\Psi_0$  удовлетворяет граничным условиям на шаре (4), но не удовлетворяет граничным условиям на цилиндре (2). Найдем  $\psi_1$  такое, чтобы  $\Psi_1(r, \theta) = \psi_1(r \cos \theta, r \sin \theta)$  удовлетворяло граничным условиям (2) на цилиндре и  $\psi_1$  было бы решением уравнения (1) в цилиндре. Затем найдем такое  $\Psi_2(r, \theta)$ , чтобы  $\psi_2(r \cos \theta, r \sin \theta) = \Psi_2(r, \theta)$  удовлетворяло условиям (4) на шаре, а  $\Psi_2(r, \theta)$  было бы решением уравнения (1), дающим скорости, затухающие на бесконечности. Определяя далее последовательно  $\psi_{2n+1}$  и  $\Psi_{2n+1}$  так, чтобы  $\psi_{2n+1}(r \cos \theta, r \sin \theta) = \Psi_{2n+1}(r, \theta)$  удовлетворяло бы условиям (4) на шаре, а  $(\Psi_{2n+1}, \psi_{2n+1})$  условиям на цилиндре, получим соответствующий ряд

$$\psi = \sum_{k=0}^{\infty} [\Psi_{2k}(r, \theta) + \Psi_{2k+1}(r \cos \theta, r \sin \theta)],$$

являющийся функцией тока исходной задачи.

Доказательство сходимости процесса последовательных приближений проводится методом ортогонального проектирования.

Рассматривается класс  $K$  гладких, финитных функций, заданных в области  $r \geq 0$ . Гильбертово пространство получается замыканием этого класса в норме, определяемой скалярным произведением

$$[\varphi, \psi] = \int_0^1 \int_0^{\pi} \left( \varphi_{,r} - \frac{1}{r} \varphi_{,\theta} \right) \left( \psi_{,r} - \frac{1}{r} \psi_{,\theta} \right) r dr d\theta, \quad \varphi, \psi \in K.$$

Эта билинейная форма связана с основным уравнением задачи.

Интегрированиями по частям легко установить ее знакоопределенность. Далее проводятся рассуждения, аналогичные приведенным в диссертации К. Калкиа [8].

Таким образом, устанавливается слабая сходимость процесса последовательных приближений в упомянутом Гильбертовом пространстве.

### § 3. Четные приближения

Как уже отмечалось, четные приближения должны удовлетворять уравнению (1)', а  $[\Psi_{2k+1}(r \cos \theta, r \sin \theta) + \Psi_{2k}(r, \theta)]$  — условиям (4).

Будем искать решение этой задачи в виде

$$\Psi_{2k} = \sum_{n=1}^{\infty} R_n(r) \cdot \varphi_n(\theta),$$

где

$$\varphi_n(\theta) = \sin^2 \theta P_n'(\cos \theta),$$

т. е. удовлетворяет уравнению

$$\Delta_{\theta}^2 \varphi_n(\theta) = \sin^2 \theta \frac{\partial}{\partial \theta} \left( \frac{1}{\sin \theta} \frac{\partial \varphi_n(\theta)}{\partial \theta} \right) = 0.$$

Здесь  $P_n'$  — производная полинома Лежандра по аргументу.

Для  $R_n(r)$  получается уравнение Эйлера, из которого следует, что

$$R_n(r) = \frac{A_n}{r^n} + \frac{B_n}{r^{n-2}}.$$

$A_n$  и  $B_n$  находятся из граничных условий

$$\frac{A_n}{a^n} - \frac{B_n}{a^{n-2}} = \frac{\int_0^{\pi} \Psi_{2k+1}(a \sin \theta, a \cos \theta) \sin^2 \theta P_n'(\cos \theta) d\theta}{\int_0^{\pi} \sin^2 \theta [P_n'(\cos \theta)]^2 d\theta}.$$

$$\left( \frac{nA_n}{a^{n-1}} - \frac{(n-2)B_n}{a^{n-1}} \right) - \frac{\int_0^{\frac{\pi}{2}} (a \sin \theta, a \cos \theta) \sin^n \theta P_n(\cos \theta) d\theta}{\int_0^{\frac{\pi}{2}} \sin^n \theta [P_n(\cos \theta)]^2 d\theta}$$

#### § 4. Нечетные приближения

Отмечалось, что нечетные приближения  $\psi_{2n-1}$  удовлетворяют уравнению (1), а

$$\psi_{2n-1}(\rho, z) = \Psi_{2n} \left( \sqrt{\rho^2 - z^2}, \operatorname{arctg} \frac{\rho}{z} \right)$$

удовлетворяет условиям (2) и  $\psi_{2n-1}$  удовлетворяет условиям (3).

Решим задачу преобразованием Фурье. Функцию  $\psi_{2n-1}$  будем искать в виде

$$\psi_{2n-1}(\rho, z) = \frac{2}{\pi} \int_0^{\frac{\pi}{2}} F_{2n-1}(\rho, \xi) \cos \xi z d\xi, \quad (5)$$

тогда  $F_{2n-1}(\rho, \xi)$  будет удовлетворять уравнению

$$\left( \rho \frac{d}{d\rho} - \frac{1}{\xi} \frac{d}{d\xi} - \rho^2 \right) F_{2n-1} = 0 \quad (6)$$

(и дальнейшем  $\left( \rho \frac{d}{d\rho} - \frac{1}{\xi} \frac{d}{d\xi} - \rho^2 \right)$  будем обозначать через  $\Delta$ ) и граничным условиям

$$\begin{aligned} F_{2n-1} &= A_{2n-1}(\rho), \\ [F_{2n-1}(\rho, \xi)]_{\xi=1} &= B_{2n-1}(\rho), \end{aligned} \quad (7)$$

где

$$\begin{aligned} A_{2n-1}(\rho) &= \int_0^{\frac{\pi}{2}} \Psi_{2n} \left( \sqrt{\rho^2 - z^2}, \operatorname{arctg} \frac{\rho}{z} \right) \cos \xi z dz, \\ B_{2n-1}(\rho) &= \int_0^{\frac{\pi}{2}} \Psi_{2n} \left( \sqrt{\rho^2 - z^2}, \operatorname{arctg} \frac{\rho}{z} \right) \cos \xi z dz. \end{aligned} \quad (8)$$

Численное решение (6) может быть осуществлено конечно-разностными методами.

Заменив  $\rho$  через  $x$  и обозначив  $F_{2n-1}(\rho, \xi)$  через  $y_{2n-1}(x, \xi)$ , запишем уравнение для  $y_{2n-1}$  в виде

$$\Delta x \frac{d^2 y_{2n-1}}{dx^2} = -y_{2n-1}$$

где

$$v_{2n+1} = 4x \frac{d^2 y_{2n+1}}{dx^2} - v^2 y_{2n+1}. \quad (9)$$

Заменим это уравнение соответствующей конечно-разностной системой

$$\frac{4x_i}{h^2} v_{2n+1}(x_{i+1}) - \frac{2 \cdot 4x_i}{h^2} v_{2n+1}(x_i) + \frac{4x_i}{h^2} v_{2n+1}(x_{i-1}) = v^2 y_{2n+1}(x_i), \quad (10)$$

$$\begin{aligned} \frac{4x_i}{h^2} y_{2n+1}(x_{i+1}) - \frac{2 \cdot 4x_i}{h^2} y_{2n+1}(x_i) + \frac{4x_i}{h^2} y_{2n+1}(x_{i-1}) = \\ = v_{2n+1}(x_i) - v^2 y_{2n+1}(x_i). \end{aligned}$$

Особенностью системы является вырождение уравнений (9) при  $x = 0$ .

Необходимо суметь поставить граничные условия в некоторой точке  $x_0 > 0$ .

Имеем:

$$\Delta F_{2n+1} = C_{2n+1}(t) i^k I_1(i^2) - E_{2n+1}(t) i^k Y_1(i^2).$$

Приняв во внимание первое условие из (3), получим, что  $E_{2n+1} = 0$  и

$$\Delta F_{2n+1} = C_{2n+1} \sum_{i=1}^{\infty} a_i i^{2i},$$

где

$$a_i = \frac{-\lambda^{2i-1}}{k!(k-1)!2^{2i-1}}.$$

Решая последнее уравнение в рядах, получим

$$F_{2n+1}(t, \lambda) = D_{2n+1} \sum_{i=1}^{\infty} a_i i^{2i} - C_{2n+1} \sum_{i=1}^{\infty} b_i i^{2i},$$

где  $D_{2n+1}$  и  $C_{2n+1}$  — пока произвольные функции  $t$ , а

$$b_i = \frac{a_{i-1} - v^2 b_{i-1}}{2k(2k-2)}.$$

Обозначим

$$\sum_{i=1}^{\infty} a_i x^i = p(x),$$

$$\sum_{i=1}^{\infty} b_i x^i = q(x),$$

получим

$$y(x) = D_{2n+1} p(x) - C_{2n+1} q(x).$$

Дифференцируя  $y$  три раза и исключая из двух последних производных  $D_{2n-1}$  и  $C_{2n-1}$  (при  $x = x_0$ ) с помощью выражения для  $y(x)$  и  $y'(x)$  получаем:

$$y''(x_0) = \frac{pq'' - q'p''}{pq' - qp'} \Big|_{x=x_0} \cdot y'(x_0) = \frac{p''q' - p'q''}{pq' - qp'} \Big|_{x=x_0} \cdot y(x_0), \quad (11)$$

$$y'''(x_0) = \frac{pq''' - q'p'''}{pq'' - qp''} \Big|_{x=x_0} \cdot y'(x_0) = \frac{p'''q' - p''q''}{pq'' - qp''} \Big|_{x=x_0} \cdot y(x_0),$$

т. е. связи между  $y$  и ее производными (а тем самым между  $v$ ,  $v'$  и  $y$ ,  $y'$ ) при  $x = x_0$ .

Условия (11) совместно с условием (7) достаточны для определения  $F_{2n-1}(z, \nu)$ .

### § 5. Определение силы лобового сопротивления

При определении сопротивления принимаем во внимание формулу Остроградского

$$\int \int \int_{V'} [p_{xx} \cos(n, x) + p_{yy} \cos(n, y) + p_{zz} \cos(n, z)] dS =$$

$$= \int \int \int_V \left( \frac{\partial p_{xx}}{\partial x} + \frac{\partial p_{yy}}{\partial y} + \frac{\partial p_{zz}}{\partial z} \right) dx dy dz.$$

Взяв в качестве поверхности сумму поверхностей шара и цилиндра и принимая во внимание, что для  $p$ , являющегося тензором напряжения, подынтегральное выражение в тройном интеграле равно нулю, получаем, что сила сопротивления шару

$$\int \int_{S_{\text{шар}}} [p_{xx} \cos(r, x) + p_{yy} \cos(r, y) + p_{zz} \cos(r, z)] dS =$$

$$= - \int \int_{S_{\text{шар}}} [p_{xx} \cos(n, x) + p_{yy} \cos(n, y) + p_{zz} \cos(n, z)] dS.$$

Для цилиндра  $\cos(n, z) = 0$ , а

$$p_{xx} \cos(n, x) + p_{yy} \cos(n, y) + p_{zz} = \nu \frac{\partial v_z}{\partial z}.$$

Так как на стенке цилиндра  $v = 0$ ,

$$\frac{\partial v_z}{\partial z} = \frac{\partial v_z}{\partial r} + \frac{\partial v_z}{\partial z} = \nu \frac{\partial}{\partial r} \frac{1}{r} \frac{\partial^2 v_z}{\partial r^2} + \frac{\partial^2 v_z}{\partial z^2}.$$

Последнее выражение вычисляется просто, так как

$$\left( \gamma \frac{\partial}{\partial r} \frac{1}{r} \frac{\partial v_{z,2n-1}}{\partial r} + \frac{\partial^2 v_{z,2n-1}}{\partial z^2} \right) = \frac{1}{r} \int_0^r v_{z,2n-1}(r, z) \cos rz \, dr, \quad (12)$$

а

$$\left( \gamma \frac{\partial}{\partial r} \frac{1}{r} \frac{\partial v_{z,2n}}{\partial r} + \frac{\partial^2 v_{z,2n}}{\partial z^2} \right) = -2 \sum_{n=1}^{\infty} \frac{B_{n(2n-1)}}{n-1 \sqrt{R^2 - z^2}} T_n \left( \operatorname{arctg} \frac{R}{z} \right),$$

где  $T_n$  и  $B_n$  определены в § 3.

Окончательно сила сопротивления

$$W = 2\pi R \eta \int_{-R}^{+R} \left. \frac{\partial v_z}{\partial r} \right|_{r=R} dz. \quad (13)$$

### § 6. Численная реализация решения

Решение задачи производилось на электронной счетной машине БЭСМ II ВЦЛОМИ\* при  $R = 1$  и разных  $\alpha = 0,5$ .

Опишем здесь опыт счета при  $\alpha = 0,5$ .

Четные приближения находились так, как это описано в § 3. Число членов ряда бралось до 16. Интегрирование производилось по формуле Гаусса с 20 ординатами.

Конечно-разностная система для определения нечетных приближений решалась методом прогонки.

При вычислении интегралов и выражениях  $A_{2n-1}(z)$  и  $B_{2n-1}(z)$  интервал по  $z$  от  $z = 0$  до  $z = 32$  разбивался на 8 равных частей, и в каждом из интервалов бралось до 20 точек по Гауссу.

Для контроля производились вычисления по формуле Филона. Результаты оказывались близкими.

Интегралы (5) и (12) вычислялись также по формуле Гаусса и по формуле Филона.

Интервал по  $r$  брался  $0 \leq r \leq 6$  и для контроля  $0 \leq r \leq 10$ .

Для достижения  $2^{10}$ -ной точности по  $z$  понадобилось проведение 25 итераций в случае  $\alpha = 0,5$ . Для  $\alpha = 0,1$  число необходимых итераций сократилось до четырех.

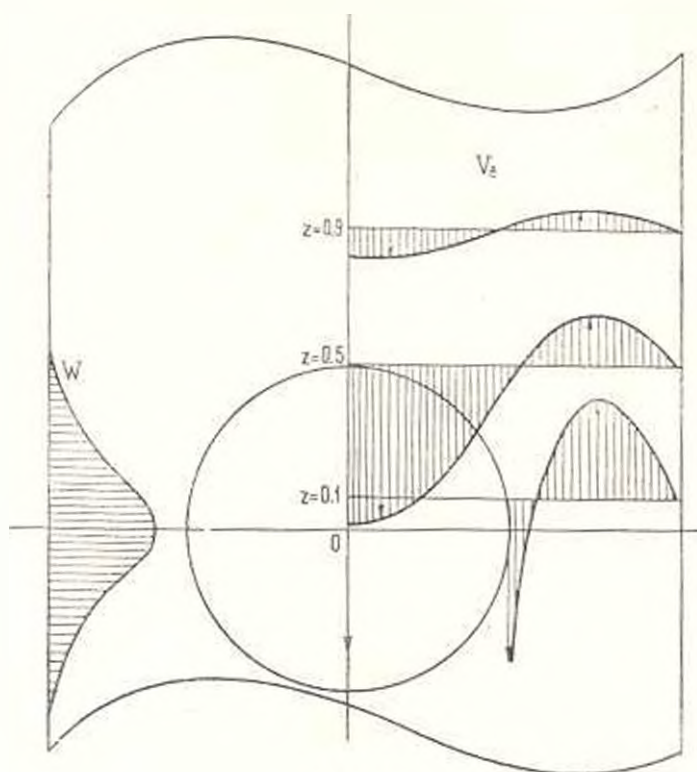
### § 7. Результаты вычислений

Эпюры продольных скоростей при  $\alpha = 0,5$  начерчены на фиг. 2 с правой стороны для  $z = 0,1, 0,5, 0,9$ . Как видно, они знакопеременны и подтверждают предварительные качественные представления [8].

Эпюра сопротивления, оказываемого цилиндром вместе со средой движению шарика, начерчена с левой стороны того же рисунка. Заметно очень быстрое затухание этого влияния с увеличением  $z$ .

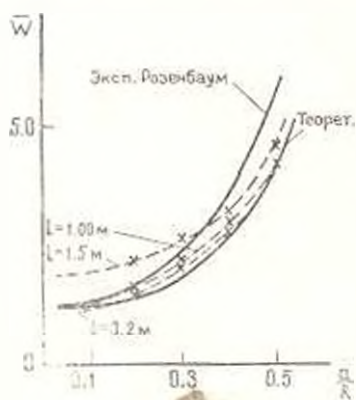
\* Вычислительный центр Ленинградского филиала математического института им. Стеклова.

Относительное сопротивление  $\bar{W}$  при  $a = 0,1, 0,3, 0,5$ , представляющее площадь этой эюры, умноженную на  $2\pi(R=1)$  и деленную на сопротивление по Стоксу, приведено в строке 7 таблицы 1.



Фиг. 2.

Значения этих  $\bar{W}$  меньше таковых, полученных Факсеном при  $Re = 0,5$ , но больше, чем по последнему решению Анпеля (5-я строка).



Фиг. 3

Для контроля нами были поставлены опыты в трубках с диаметром  $0,5$  см со стальными шариками  $d = 0,1, 0,15, 0,20, 0,25$  см. Шарик пускался в строго вертикальную прямолинейную трубу по оси с помощью электромагнита и засекалось время с помощью секундомера на расстоянии  $20$  см,  $100$  см и  $150$  см, не считая нерабочую длину  $l = 10$  см, равную от  $40$  до  $100$  диаметрам шариков.

Замечалось отклонение шарика от оси трубки на больших расстояниях, чем тормозилось движение шарика (см. также [10]).

Таблица 1

№ п/п	Авторы	$a/R$					
		0.1	0.2	0.3	0.5	0.7	
1	Ладенбург (1907)	1.24	1.48	1.72	2.20	2.68	
2	Факсен (1921)	$Re = 0.1$	1.215	—	—	1.47	—
			$Re = 0.5$	1.67	—	—	7.0
3	Аппель и Байрон (1954)	1.25		1.63	2.22	—	—
4	Кавагучи (1958)	1.198	1.425	1.733	2.66	4.18	
5	Аппель (по Аберману)	1.201	1.495	1.935	3.99	18.27	
6	Розенбаум (эксперимент)	1.315	1.800	2.490	5.72	—	
7	Авторы (теория)	$l = 0,2 \text{ м}$	1.26	1.60	1.94	4.25	—
			—	1.580	2.100	4.45	—
			—	1.680	2.240	4.71	—
8	— (эксперимент)	$l = 1,5 \text{ м}$	—	2.320	2.810	4.17	—
			—	—	—	—	—

Как показали опыты, данные которых приводятся в строке 8 табл. 1, результаты, полученные на расстоянии 20 см, когда шарик еще оставался на оси трубки, соответствуют результатам изложенного выше теоретического решения. Полученные на длине 1,0 м данные подходят к кривой Розенбаум [11], а на длине 1,5 м наши точки пересекают кривую Розенбаум (см. фиг. 3).

Отметим, что  $W$  из наших опытов определено через отношение скорости свободного падения шарика к скорости его падения по оси трубы. Это вытекает из постоянства сопротивления данного шарика при установившемся падении, равного его весу.

### В ы в о д ы

1. Сопротивление шарика в трубе, найденное интегрированием уравнений Стокса без инерционных членов для двухсвязной области между шаром и бесконечным цилиндром при граничных условиях (2), (3), (4), удовлетворительно сходится с нашими экспериментальными данными на коротком участке трубы (20 см). На более длинном участке при экспериментах в стеклянной трубе было замечено отклонение шариков от оси трубы.

2. Построенные эпюры продольных скоростей по приведенному решению вполне подтверждают предварительные качественные представления [9].

Авторы выражают свою признательность К. И. Гришмановской за программирующий алгоритм решения задачи на машине БЭСМ II.

ՄԱՆՈՒՑԻԿ ԷՔՍՊՐԻՄԵՆՏԱԿԱՆ ԼՅՎԱՄ ՈՒՂՂԱԶՈՒԿԻ ԽՈՂԱՎԱԿԻ ՍՈՍՆՅՔՈՎ ԳՆՊԻԿԻ ԱՆԿՄԱՆ ՄԱՍԻՆ

Ս. մ փ ո փ ո լ մ

Աշխատանքի նպատակն է ուսումնասիրել մաթուցիկ նեղուկով լցված ուղղաձիգ զրանի առանցքով զնդիկի հաստատված շարժման մամոնակ տալագամ հիդրոդինամիկական դաշար և պարզել զրանային պատերի աղբյուրթյունը զնդիկի շարժման վրա:

Ննդիրը բերված է Մատրի գծային հախաարումների ինտեգրման՝ (2), (3), (4) սահմանային պայմանների դեպքում. սահմանափակելով նրա կիրառությունը լամինարության պիտույթով ( $Re < 0,5$ ).

Սահմանային պայմանները բավարարված են աստիճանաբար մոտեցման եզանակով [7], որի զուգամիտությունն ալտակց սուղալուցված է:

Թվային հաշվումները կատարված են մաթեմատիկական ինտախուտի լեհինդրայան բամանումնրի հաշվողական կենտրոնում զնդիկի և զրանի շատափղների  $0,1 - 0,5$  հարաբերությունների համար:

Սուղալուցի պատերի պատճառով զնդիկի շարժման դիմացություն մեծացումը համեմատած ադատ անկման Մատրի գիտաղբյուրթյան հետ բերված է աղբյուրակի 2-րդ սուղում:

Հաշվման ալտ սրղյունքները համեմատված են հեղինակների կողմից փորձնական էսնապարհով ստացված տվյալների. ինչպես նաև ալտ հեղինակների տեսական և փորձնական սրղյունքների հետ:

Աշխատանքում բերված են նաև գիտաղբյուր դաշտում արաղբյուրթյունների բաշխման էղյուրաները՝ զնդիկի և խողովակի շատափղների  $0,5$  հարաբերություն համար:

S. M. ISAHAKIAN, A. M. GASPARIAN, L. M. HOVHANNISIAN

FALLING OF SPHERE ALONG THE AXIS OF A CYLINDER FILLED WITH VISCOUS LIQUID

S u m m a r y

This paper gives the solution of Navier-Stoke's linearized equation with boundary conditions (2), (3), (4) to explain the mechanism of viscous fluid and cylindrical wall effect on the sphere, falling along the axis of the cylinder.

Satisfaction of boundary conditions is achieved by the iteration method.

The graphical representation of axial velocity component and wall resistance distribution obtained by this solution, are shown on fig. 2.

Comparison of resistance values of falling spheres obtained by this solution by our and other authors' experimental data are given in fig. 3 and in table 1.

Analysis of these quantities shows the validity of the results obtained.

## Л И Т Е Р А Т У Р А

1. Кочин Н. Е., Кибель И. А., Розе Н. В. Теоретическая гидромеханика. т. II. Гостехиздат, М-Л, 1948, стр. 388.
2. Ladenburg R. Über den Einfluß von Wänden auf die Bewegung einer Kugel in einer reibenden Flüssigkeit. Ann. d. Phys., 23, 447, 1907.
3. Faxen H. Die Bewegung einer starren Kugel längs der Achse eines mit zäher Flüssigkeit gefüllten Rohres. Arkiv für Matematik, Astronomy OCH Fysik, Bd. 17, 27, 1923.
4. Happel J. and Byronc B. J. Motion of a Sphere and Fluid in a Cylindrical Tube. Ind. and Eng. Chem., V. 46, 6, 1954, pp. 1181—1186.
5. Heppel J. and Ast P. A. The Motion of Rigid Sphere in a Frictionless Cylinder. Chem. Eng. Science, V. 11, 1960, pp. 286—292.
6. Faxen H. Der Widerstand gegen die Bewegung einer starren Kugel in einer zähen Flüssigkeit, die zwischen zwei parallelen ebenen Wänden eingeschlossen ist. Ann. der Physik, Bd. 68, 1922.
7. Соболев С. Л. Алгоритм Шварца в теории упругости. Докл. АН СССР, т. 1 (13), № 6 (110), 1936.
8. Килик К. К вопросу о сходимости алгоритмов типа Шварца. АГУ, 1955.
9. Гиспарян А. М., Замирян А. Л. О механизме падения частиц в вязкой среде. Докл. АН Арм. ССР, т. 26, 1, 1958.
10. Исаикян С. М., Гиспарян А. М. Падение твердого шарика в вязкой жидкости, сообщение 2. Изв. АН Арм. ССР, серия техн. наук, № 6, 1965.
11. Роллсбург Р. Б. Экспериментальное исследование ступенчатого падения шара вдоль оси цилиндрической трубы. Записки Ленингр. горного ин-та им. Пашаева, т. 36, в. 3, 1958.

В. В. МЕГЛИНСКИЙ

## ИЗГИБ ЭЛЛИПТИЧЕСКОЙ АНИЗОТРОПНОЙ ПЛАТЫ С ЭЛЛИПТИЧЕСКИМ ОТВЕРСТИЕМ

В работе [6] изложен метод решения задачи об изгибе анизотропной эллиптической плиты, ослабленной эллиптическими отверстиями.

В данной статье этим методом решена задача об изгибе эллиптической плиты с эллиптическим отверстием под действием изгибающих моментов, равномерно распределенных по внешнему контуру плиты. Внутренний контур считается жестко защемленным. Показано, что бесконечная система линейных алгебраических уравнений, к решению которой приведено решение поставленной задачи, является квазирегулярной при любой близости между собой контуров, ограничивающих срединную плоскость плиты.

1. Рассмотрим упругое равновесие плоской однородной анизотропной эллиптической плиты постоянной толщины, ослабленной одним эллиптическим отверстием.

Предположим, что пластинка не является ортотропной, но имеет в каждой точке одну плоскость упругой симметрии, параллельную срединной плоскости пластинки.

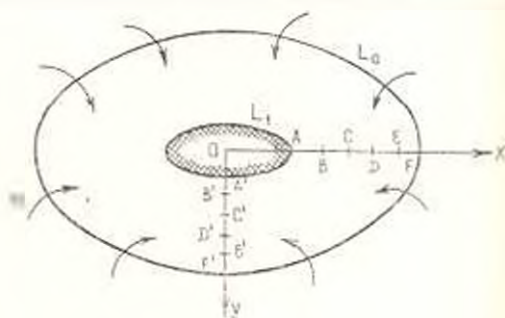
Обозначим области, занимаемую срединной плоскостью изгибаемой пластинки в плоскости  $XOY$ , через  $S$ , внешний контур — через  $L_0$ , внутренний — через  $L_1$ , а полуоси эллипсов — соответственно через  $a_0, b_0$  и  $a_1, b_1$ .

Будем считать, что контур  $L_1$  жестко защемлен, а на контуре  $L_0$  действуют равномерно распределенные изгибающие моменты интенсивности  $m$  (фиг. 1).

Задача о напряженно-деформированном состоянии такой плиты сводится, как известно, к определению функций  $W_j(z_j)$  ( $j = 1, 2$ ) из соответствующих граничных условий. В рассматриваемом случае эти граничные условия удобно представить в виде

$$W_2'(t_2) - k_{11} \overline{W_2(t_2)} - k_{22} \overline{W_2(t_2)} = 0, \quad (1.1)$$

$$W_2'(t_2) - k_{22} \overline{W_2(t_2)} - k_{11} \overline{W_2(t_2)} = 0 \text{ на } L_1;$$



Фиг. 1.

$$\begin{aligned} W_1'(t_1) + k_{11} \overline{W_1'(t_1)} + k_{22} \overline{W_2'(t_1)} &= m_1^0 d (q_2^0 y - p_2 x), \\ \overline{W_2'(t_2)} + k_{33} \overline{W_2'(t_2)} + k_{44} \overline{W_2'(t_2)} &= -m_2^0 d (q_1^0 y - p_1 x) \text{ на } L_{\alpha}. \end{aligned} \quad (1.2)$$

Здесь  $t_j$  — аффиксы точек на контурах соответствующих эллипсов, расположенных в областях изменения  $z_j$ ;  $\eta_j$  — комплексные параметры изгиба [4]:

$$k_{11} = \frac{\eta_1 - \eta_2}{\eta_1 - \eta_2}, \quad k_{12} = \frac{\eta_2 - \eta_1}{\eta_1 - \eta_2}, \quad k_{13} = \frac{\eta_1}{\eta_1} d (\eta_1 p_1 q_1 - \eta_2 p_1 q_2), \quad (1.3)$$

$$k_{22} = \frac{\eta_2}{\eta_2} d (\eta_2 p_2 q_2 - \eta_1 p_2 q_1), \quad d = (\eta_1 p_1 q_1 - \eta_2 p_1 q_2)^{-1};$$

$$p_j = D_{11} + D_{12} \eta_j^2 - 2 D_{13} \eta_j, \quad q_j = D_{11} - D_{22} \eta_j^2 - 2 D_{33} \eta_j, \quad (1.4)$$

$$r_j = D_{13} + D_{33} \eta_j^2 - 2 D_{34} \eta_j, \quad s_j = \frac{D_{11}}{\eta_j} - 3 D_{13} - (D_{22} + 2 D_{33}) \eta_j - D_{34} \eta_j^2.$$

Коэффициенты  $k_{31}$ ,  $k_{11}$ ,  $k_{22}$ ,  $k_{44}$  получаются из  $k_{11}$ ,  $k_{12}$ ,  $k_{13}$ ,  $k_{22}$  если в выражениях (1.3) заменить  $\eta_1$ ,  $p_1$ ,  $q_1$  на  $\eta_2$ ,  $p_2$ ,  $q_2$  и наоборот.

Функции  $W_j(z_j)$  ( $j = 1, 2$ ) определены в областях  $S_j$ , которые получаются из заданной области  $S$  путем известного аффинного преобразования.

После определения функций  $W_j(z_j)$  прогиб плиты, моменты и перерезывающие силы находятся по формулам [4]

$$\begin{aligned} W &= 2 \operatorname{Re} \sum_{j=1,2} W_j(z_j), & M_x &= -2 \operatorname{Re} \sum_{j=1,2} p_j W_j'(z_j), \\ M_y &= -2 \operatorname{Re} \sum_{j=1,2} q_j W_j'(z_j), & H_x &= 2 \operatorname{Re} \sum_{j=1,2} r_j W_j'(z_j), \\ N_x &= -2 \operatorname{Re} \sum_{j=1,2} v_j s_j W_j'(z_j), & N_y &= 2 \operatorname{Re} \sum_{j=1,2} s_j W_j'(z_j). \end{aligned} \quad (1.5)$$

Для точек контуров наибольший интерес представляет определение моментов и перерезывающих сил, действующих на площадках, касательных и нормальных к контурам плиты. Они легко определяются по формулам [4]

$$\begin{aligned} M_n &= M_x \cos^2(nx) + M_y \cos^2(ny) - 2 H_x \cos(nx) \cos(ny), \\ H_{nt} &= (M_y - M_x) \cos(nx) \cos(ny) - H_x [\cos^2(nx) - \cos^2(ny)], \\ N_n &= N_x \cos(nx) + N_y \cos(ny). \end{aligned} \quad (1.6)$$

2. В силу геометрической и силовой симметрии главный вектор и главный момент усилий, приложенных к контуру  $L_1$ , будут равны нулю. Поэтому функции  $W_j(z_j)$  можно искать в виде [6]

$$W_l(z_j) = \sum_{k=1}^n \frac{A_{jk}}{[\xi_1(z_j)]^k} = \sum_{k=1}^n C_{jk} P_{2k}^{(n)}(z_j). \quad (2.1)$$

Здесь  $A_{jk}$ ,  $C_{jk}$  — комплексные постоянные, подлежащие определению из граничных условий.  $P_{2k}^{(n)}(z_j)$  — полиномы Фабера для областей, заключенных внутри эллипсов  $L_{2k}$ , полученных из  $L_0$  известным аффинным преобразованием, а  $\xi_1(z_j)$  связаны с  $z_j$  неявными зависимостями вида

$$z_j = R_{jn} \left( \xi_1 + \frac{m_{jn}}{\xi_1} \right). \quad (2.2)$$

Отобразим единичный круг в плоскости  $\xi_1$  на внешность эллипсов  $L_{2l}$ . Это отображение осуществляется, как известно, функциями

$$z_j = R_{jn} (\xi_1^{-1} - m_{jn} \xi_1). \quad (2.3)$$

Постоянные  $R_{jn}$  и  $m_{jn}$  ( $n = 0, 1$ ) в выражениях (2.2) и (2.3) характеризуют размеры и форму эллипсов  $L_{2l}$  в областях изменения  $z_j$  и определяются соотношениями

$$R_{jn} = \frac{a_n - i\eta_j b_n}{2}, \quad m_{jn} = \frac{1 + i\eta_j c_n}{1 - i\eta_j c_n}, \quad c_n = \frac{b_n}{a_n}. \quad (2.4)$$

Функции  $[\xi_1(z_j)]^{-l}$  голоморфные вне контуров  $L_{2l}$ , а, следовательно, и вне контуров  $L_{2n}$ , можно после этого рассматривать как функции аргумента  $z_j$ . Они будут голоморфными в области внутри единичной окружности  $z_{jn}$ . Разложим внутри  $z_{jn}$  функции  $[\xi_1(z_j)]^{-l}$  ( $l = 1, 3, 5, \dots$ ) в ряды Тейлора [7]

$$[\xi_1(z_j)]^{-l} = \sum_{k=1, 3, \dots} z_{jkl} [\xi_0(z_j)]. \quad (2.5)$$

Коэффициенты  $z_{jkl}$  определяются из соотношения

$$z_{jkl} = \sum_{n=1}^{k-1} z_{jpn} z_{l, k-p, j-1} \quad (k = 1, 2, 3, \dots). \quad (2.6)$$

При этом

$$z_{jkl} = \sum_{n=1}^{k-1} \frac{1 - \frac{n-3n+1}{2}}{1 - \frac{k-2n+1}{2}} \frac{n \left( \frac{2n+k-3}{2} \right)! m_{jn}^{n-1} m_{jn}^{\frac{k-2n+1}{2}}}{\left( \frac{k-2n+1}{2} \right)! (n!)^2} \left( \frac{R_{jn}}{K_{jn}} \right)^{2n-1} \quad (k = 1, 3, \dots), \quad (2.7)$$

$$z_{jkl} = 0 \quad (k = 2, 4, 6, \dots).$$

На основании (2.3) полиномы Фабера  $P_{2k}^{(n)}(z_j)$  на контуре  $L_{2l}$  можно записать в виде

$$P_{2k}^{(n)}(z_j) = z^{-k} + m_{jn}^{2k} z^k \quad (z = e^{i\theta}). \quad (2.8)$$

Принимая во внимание выражение (2.8) и учитывая, что на контуре  $L_1$   $\bar{z}_1(z_1) = z_1$ , подставим полученные разложения (2.5) в соотношения (2.1). Тогда для функций  $W_j(z_1)$  получим следующее представление на контуре  $L_1$ :

$$W_j(z) = \sum_{k=1,3,\dots} \left( \sum_{l=1,3,\dots} z_{jkl} A_{kl} \right) z^k + \sum_{k=1,3,\dots} C_{jk} (z^{-k} - m_{jk}^* z^k). \quad (2.9)$$

Здесь учтено, что  $z_{jkl} = 0$  при  $l \geq k$ , что непосредственно следует из (2.6).

Функции  $P_k^{(1)}(z_1)$ , голоморфные внутри эллипсов  $L_{2n}$ , будут голоморфными и в областях внутри контуров  $L_1$ . Разложим их внутри эллипсов  $L_1$  в ряды по полиномам Фабера  $P_k^{(1)}(z_1)$  [5]. Будем иметь

$$P_k^{(1)}(z_1) = \sum_{j=1,3,\dots} z_{jkl} P_j^{(1)}(z_1). \quad (2.10)$$

Здесь

$$z_{jkl} = \frac{1}{2\pi i} \int_{\gamma} P_j^{(1)}(z_1) \frac{dz_1}{z_1^{k+1}}, \quad (2.11)$$

где  $\gamma$  — контур единичной окружности в плоскости  $\bar{z}_1$ . Вычисление этого интеграла сопряжено с определенными трудностями. Но в рассматриваемом случае коэффициенты  $z_{jkl}$  оказалось возможным выразить через  $z_{jkl}^*$ :

$$z_{jkl}^* = \frac{k}{l} z_{jlk}. \quad (2.12)$$

Заметим далее, что на основании (2.2) на контуре  $L_1$  имеет место равенство  $\bar{z}_1(z_1) = z_1$ , а полиномы  $P_k^{(1)}(z_1)$  можно представить в виде

$$P_k^{(1)}(z_1) = z^k - m_{jk}^* z^{-k}. \quad (2.13)$$

Учитывая это, подставим разложения (2.10) в выражение (2.1). Тогда на контуре  $L_1$  для функций  $W_j(z_1)$  получим следующее представление:

$$W_j(z) = \sum_{k=1,3,\dots} \frac{A_{jk}}{z^k} + \sum_{k=1,3,\dots} \left( \sum_{l=1,3,\dots} z_{jkl} C_{lk} \right) \left( z^k - \frac{m_{jk}^*}{z^k} \right). \quad (2.14)$$

Подставим теперь полученные выражения (2.9) и (2.14) соответственно в граничные условия (1.2) и (1.1). Одновременно учтем, что на контуре  $L_1$  имеют место соотношения

$$x = \frac{a_0}{2} \left( z - \frac{1}{z} \right), \quad y = \frac{a_0 c_{01}^l}{2} \left( z - \frac{1}{z} \right). \quad (2.15)$$

Приравняв затем коэффициенты при одинаковых степенях  $z$ , для определения постоянных  $A_{jk}$ ,  $C_{jk}$  и сопряженных величин получим

бесконечную систему линейных алгебраических уравнений, которую после несложных, но громоздких преобразований можно привести к виду

$$\begin{aligned}
 A_{1k} - m_{11}^k \sum_{l=k, k+2, \dots}^{\infty} z_{1kl} C_{1l} + k_{21} \sum_{l=k, k+2, \dots}^{\infty} z_{1kl} C_{1l} - k_{21} \sum_{l=k, k+2, \dots}^{\infty} z_{1kl} C_{2l} &= 0, \\
 A_{2k} - m_{21}^k \sum_{l=k, k+2, \dots}^{\infty} z_{2kl} C_{2l} - k_{21} \sum_{l=k, k+2, \dots}^{\infty} z_{1kl} C_{1l} - k_{11} \sum_{l=k, k+2, \dots}^{\infty} z_{2kl} C_{2l} &= 0, \\
 C_{1k} - k_{12} \left( m_{11}^k C_{1k} - \sum_{l=1, 3, \dots}^k z_{1kl} A_{1l} \right) + k_{22} \left( m_{21}^k C_{2k} - \sum_{l=1, 3, \dots}^k z_{2kl} A_{2l} \right) &= \delta_{1k}, \\
 C_{2k} - k_{22} \left( m_{21}^k C_{2k} - \sum_{l=1, 3, \dots}^k z_{2kl} A_{2l} \right) - k_{12} \left( m_{11}^k C_{1k} - \sum_{l=1, 3, \dots}^k z_{1kl} A_{1l} \right) &= \delta_{2k}, \\
 A_{1k} + m_{11}^k \sum_{l=k+1, \dots}^{\infty} z_{1kl} C_{1l} + k_{11} \sum_{l=k+1, \dots}^{\infty} z_{1kl} C_{1l} - k_{11} \sum_{l=k+1, \dots}^{\infty} z_{2kl} C_{2l} &= 0, \\
 A_{2k} + m_{21}^k \sum_{l=k+1, \dots}^{\infty} z_{2kl} C_{2l} + k_{21} \sum_{l=k+1, \dots}^{\infty} z_{1kl} C_{1l} - k_{21} \sum_{l=k+1, \dots}^{\infty} z_{2kl} C_{2l} &= 0, \\
 C_{1k} - k_{22} \left( m_{21}^k C_{2k} - \sum_{l=1, 3, \dots}^k z_{2kl} A_{2l} \right) - k_{12} \left( m_{11}^k C_{1k} - \sum_{l=1, 3, \dots}^k z_{1kl} A_{1l} \right) &= \\
 &= \delta_{1k}, \\
 C_{2k} + k_{12} \left( m_{11}^k C_{1k} - \sum_{l=1, 3, \dots}^k z_{1kl} A_{1l} \right) - k_{22} \left( m_{21}^k C_{2k} - \sum_{l=1, 3, \dots}^k z_{2kl} A_{2l} \right) &= \\
 &= \delta_{2k} \quad (k = 1, 3, \dots),
 \end{aligned} \tag{2.16}$$

где

$$\begin{aligned}
 \delta_{1k} &= \frac{z_1 d m_{11}}{2} (p_2 - z_1 \theta_1 \epsilon_1 l), \quad \delta_{2k} = \frac{z_2 d m_{21}}{2} (p_1 - z_1 \theta_1 \epsilon_1 l), \\
 \delta_{11} &= \delta_{21} = 0 \quad (k \geq 3).
 \end{aligned} \tag{2.17}$$

Эта система оказывается квазирегулярной при любой близости между собой контуров  $L_1$  и  $L_2$ .

3. Для доказательства квазирегулярности системы (2.16) достаточно установить, что сумма взятых по абсолютной величине коэффициентов при неизвестных  $A_{1l}$  и  $C_{2l}$  стремится к нулю, когда  $k$  стремится к бесконечности [3].

Рассмотрим разложения (2.5). Для коэффициентов  $z_{1kl}$  имеют место неравенства [7]

$$|z_{1kl}| < \frac{M_1^k}{r_1^k} \tag{3.1}$$

Здесь  $M_j^1$  — максимальные значения функций  $[\xi_1(z, 1)]^{-1}$  на контурах эллипсов  $L_j^1$ , софокусных с эллиптическими контурами  $L_{j0}$  и целиком лежащих в областях  $S_j$ . Эти контуры соответствуют окружности радиуса  $\rho > 1$  в плоскости  $\xi_1$ , когда осуществляется конформное отображение области  $|\xi_1| < 1$  на внешность эллипсов  $L_{j0}$ . Величины  $M_j^1$  всегда меньше единицы, так как величины  $|\xi_1(z_j)|^{-1}$  равны единице лишь на контурах  $L_{j0}$  и убывают до нуля при удалении от этих контуров.

Для сумм абсолютных значений коэффициентов при неизвестных  $A_j$  в системе (2.16) будем иметь следующие неравенства:

$$\sum_{j=1, 2, \dots} |\alpha_{jk}| < \frac{M_j^1}{r^k}. \quad (3.2)$$

Здесь обозначено

$$M_j^1 = \sum_{i=1, 2, \dots} M_{ji}^1. \quad (3.3)$$

Рассмотрим теперь разложения (2.10). Для коэффициентов  $\alpha_{jk}$  имеют место следующие неравенства [8]:

$$|\alpha_{jk}| < \frac{M_{jk}}{r^k}. \quad (3.4)$$

Здесь  $M_{jk}$  — максимальные значения функций  $P_j^k(z_j)$  на контурах эллипсов  $L_{j1}$ , софокусных с контурами  $L_{j0}$  и целиком лежащих в областях  $S_j$ . Контуры эллипсов  $L_{j1}$  соответствуют окружности радиуса  $\rho_1 > 1$  в плоскости  $\xi_1$  при конформном отображении внешности единичного круга в плоскости  $\xi_1$  на внешность эллипсов  $L_{j0}$ . Проведем эллипсы  $L_{j1}$ , софокусные с  $L_{j0}$ , так, чтобы они касались эллиптических кривых  $L_{j0}$ , не пересекая их. Тогда в качестве  $M_{jk}$  возьмем значения функций  $P_j^k(z_j)$  на контурах  $L_{j1}$ . Последние переходят в окружности радиуса  $r < 1$  в плоскости  $\xi_1$  при конформном отображении области  $|\xi_1| > 1$  на внешность эллипсов  $L_{j0}$ . Поэтому можно принять [8]

$$M_{jk} = 2r^k \quad (r < 1). \quad (3.5)$$

Рассмотрим следующие суммы:

$$\sum_{j=1, 2, \dots} |\alpha_{jk}| < \frac{M_j^k}{r^k}. \quad (3.6)$$

Здесь

$$M_j^k = \sum_{i=1, 2, \dots} M_{ji}^k = 2 \sum_{i=1, 2, \dots} r^k. \quad (3.7)$$

Величины (3.3) и (3.7) являются ограниченными, что устанавливается на основании признака Даламбера. Поэтому величины (3.2) и

(3.6) стремятся к нулю, когда  $k$  стремится к бесконечности. Число таких сумм при искомым коэффициентах  $A_{ij}$  и  $C_{ij}$  конечно. Если, кроме того, принять во внимание формулы (9.17) и учесть, что  $|m_{ij}| < 1$ , то становится ясным, что система (2.16) является квазирегулярной при любой близости между собой контуров  $L_0$  и  $L_1$ .

Это обстоятельство позволяет при приближенном решении задачи использовать метод редукции [2].

4. В качестве примера рассмотрим плиту, изготовленную из ортотропного материала так, что главные направления упругости параллельны направлениям главных осей эллипсов  $L_0$  и  $L_1$ . Чтобы выявить влияние анизотропии материала на различные характеристики напряженно-деформированного состояния плиты, численные расчеты для прогиба, моментов и перерезывающих сил в точках действительной и мнимой осей и в точках контуров мы провели для случаев, когда плита изготовлена

1) из трехслойной авиационной фанеры (такую плиту в дальнейшем для краткости будем называть «фанерной»). Для фанеры отношение модулей Юнга для главных направлений упругости равно [4]  $E_1/E_2 = 12,1$ , и то время как для изотропного материала  $E_1/E_2 = 1$ ;

2) из СВАМ'а, для которого  $E_1/E_2 = 1,01$  [1].

Жесткости, коэффициенты Пуассона и комплексные параметры изгиба для этих материалов приведены в табл. 1. Все расчеты были проведены на ЭЦВМ «Урал-2». О сходимости результатов, а также о степени удовлетворения граничных условий в отдельных точках для фанерной плиты можно судить на основании табл. 2. В этой таблице приведены с точностью до  $m$  по приближениям значения прогиба, изгибающего момента  $M$  и перерезывающей силы  $N$ , в наиболее инте-

Таблица 1

	$D_1 \cdot 10^{-12}$	$D_2 \cdot 10^{-12}$	$D_3 \cdot 10^{-12}$	$D_4 \cdot 10^{-12}$	$\nu_1$	$\nu_2$	$\beta_1$	$\beta_2$
Фанера	1,70	0,14	0,183	0,07	0,31	0,026	1,04—1,55	1,04—1,55
СВАМ	3,52	3,49	2,14	0,84	0,13	0,13	0,442—0,899	0,442—0,899

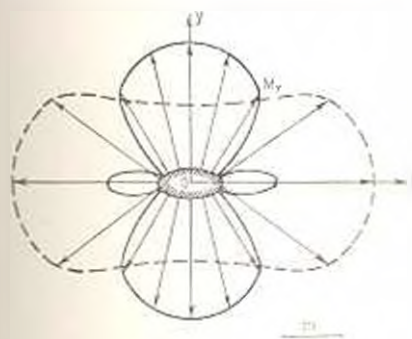
ресных точках (см. фиг. 1). При этом принято, что контуры  $L_0$  и  $L_1$  являются эллиптическими с отношением полуосей  $a_0/a_1 = 5$ ,  $b_0/b_1 = 2$ . Через  $n$  в таблице обозначено количество уравнений, которое оставалось в системе (2.16) при приближенном решении задачи.

Для плиты, изготовленной из СВАМ'а, как показали проведенные нами исследования, практически точные результаты получались уже в том случае, когда в системе (2.16) оставалось 12 уравнений.

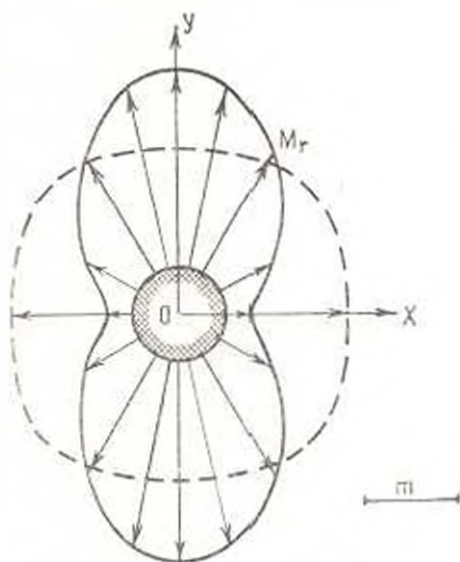
Таблица 2

		Точки		$n$					
				4	8	12	16	20	
$D, W'$	$F$	-7,2086	-6,8068	6,7784	6,7915	6,7885			
	$F'$	-18,025	17,538	17,531	-17,553	-17,558			
$M_r$	$A$	-0,9643	-0,8968	-0,8933	-0,8942	-0,8949			
	$A'$	2,1286	2,0576	2,0505	2,0487	2,0484			
	$F$	1,1630	0,9279	0,9922	1,0135	0,9965			
	$F'$	0,9942	0,9743	0,9890	0,9993	1,0010			
$N_r$	$A$	8,9413	8,7780	8,7777	8,7829	8,7856			
	$A'$	-1,8734	-1,7056	-1,6778	-1,6677	-1,6656			
	$F$	-0,0026	-0,0571	-0,0241	0,0154	0,0177			
	$F'$	-0,0655	-0,0421	-0,0161	0,0154	0,0224			

Для указанных выше отношений полуосей в табл. 3 приведены в 5-м приближении (т. е. при  $n = 20$ ) с точностью до  $m$  значения прогиба, моментов и перерезывающих сил в точках действительной и мнимой осей, а в табл. 4 — прогиб, моменты и перерезывающие силы в точках внутреннего контура (верхняя половина таблицы) и внешнего (нижняя половина). В точках дей-



Фиг. 2.



Фиг. 3.

ствительной и мнимой осей скручивающий момент  $H_r$  равен нулю, поэтому он в таблицах не приведен.

Распределение изгибающего момента  $M_r$  по контуру  $L_1$  в случае, когда оба контура являются эллиптическими ( $a_1, a_2 = 5, b_1, b_2 = 2$ ), дано на фиг. 2. Для сравнения на фиг. 3 показано распределение изгибающего момента  $M_r$  по контуру кругового ядра в круглой плите ( $R_0/R_1 = 2$ ). Сплошная линия графиков, изображенных на фиг. 2, 3,

Точка	$D, E'$		$M_A$		$M$
	Фанера	СБМ	Фанера	СБМ	Фанера
$A$	0	0	0,8940	2,5268	0,0233
$B$	-0,1378	0,4891	1,3022	1,1019	0,5611
$C$	0,9387	1,6443	1,2118	1,0153	0,7868
$D$	-2,3641	3,3768	1,1155	1,0008	0,8800
$E$	-4,3328	5,6756	1,0489	0,9999	0,9353
$F$	-6,7885	8,5400	0,9965	1,0021	0,9746
$A'$	0	0	0,6107	0,1296	2,0481
$B'$	0,9580	0,1071	1,8866	0,3179	1,3470
$C'$	-3,3964	0,1925	1,7157	0,4843	1,1134
$D'$	-7,0254	-0,4360	1,5766	0,5990	1,0374
$E'$	11,756	0,7734	1,5030	0,6741	1,0094
$F'$	17,558	1,2000	1,4559	0,7268	1,0010

Таблица 3

y	$N_1$		$N_2$	
	Данера	СВМ	Данера	СВМ
0,3272	8,7856	-2,2266	0	0
1,0339	0,5307	0,2416	0	0
1,0190	0,0239	0,0430	0	0
1,0100	0,0110	0,0100	0	0
1,0052	0,0126	0,0001	0	0
0,9923	0,0177	0,0213	0	0
0,9917	0	0	1,6656	0,9001
1,1148	0	0	1,3367	0,4767
1,1269	0	0	0,4485	0,1706
1,0957	0	0	0,1719	0,0257
1,0532	0	0	0,0662	0,0390
1,0074	0	0	0,0224	0,0735

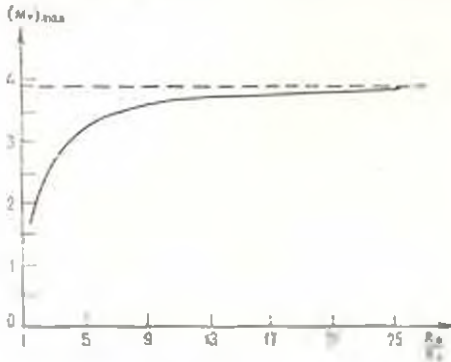
Таблица 4

H	D <sub>1</sub> W		M <sub>1</sub>		M <sub>0</sub>		H <sub>14</sub>		N <sub>r</sub>		N <sub>b</sub>	
	Фанера	СВАМ	Фанера	СВАМ	Фанера	СВАМ	Фанера	СВАМ	Фанера	СВАМ	Фанера	СВАМ
0	0	0	-0,8950	2,5268	0,0233	0,3272	0	0	8,7856	-2,2266	0	0
15	0	0	0,2154	2,1753	0,0588	0,6857	0,0971	0,2303	7,7310	-3,7966	-1,7722	1,8954
30	0	0	0,8330	1,6318	0,7520	0,6485	-0,6208	0,0514	3,4344	0,7531	7,1208	-4,8438
45	0	0	1,5013	1,2827	1,9389	0,3748	-0,9388	0,1351	-2,7895	0,9859	13,296	2,4057
60	0	0	1,8451	1,1009	1,7645	0,2170	-0,4977	0,1016	-3,8102	1,0767	-0,0010	-0,8141
75	0	0	2,0031	1,0163	0,9830	0,1486	-0,1302	0,0507	-2,2907	0,9527	-3,0283	-0,2570
90	0	0	2,0484	0,9917	0,6467	0,1296	0	0	-1,6656	0,9001	0	0
0	-6,7885	-8,5400	0,9965	1,0021	0,9746	0,9923	0	0	-0,0177	-0,0213	0	0
15	7,7718	-8,0020	1,0022	0,9968	0,9524	1,0073	0,0027	0,0031	0,0035	0,0073	0,0032	0,0238
30	10,323	-6,5520	0,9990	1,0045	0,8891	1,0001	-0,0045	0,0011	0,0260	0,0011	-0,0012	-0,0058
45	13,374	-4,6262	0,9996	0,9946	0,8720	1,0034	-0,0427	0,0016	0,0467	-0,0039	0,0541	-0,0125
60	15,756	-2,8165	1,0005	1,0002	1,0922	0,9480	-0,0724	-0,0042	0,0008	0,0235	0,1694	-0,0654
75	17,105	-1,6105	0,9991	0,9931	1,3792	0,8078	-0,0396	-0,0452	-0,0401	-0,0193	0,1238	-0,1091
90	17,558	-1,2000	1,0010	1,0074	1,4550	0,7268	0	0	-0,0224	-0,0735	0	0

соответствует фанерной плите, а пунктирная — плите, изготовленной из СВМ'а.

На основании полученных результатов можно заключить, что анизотропия материала оказывает существенное влияние как на характер распределения, так и на величину всех характеристик напряженно-деформированного состояния плиты.

Для выяснения взаимного расположения контуров плиты на ее напряженное состояние нами были проведены просчеты для прогибов, моментов и перегреывающих сил при различных отношениях радиуса



Фиг. 4

круглой фанерной плиты к радиусу круглого ядра. На фиг. 4 представлено изменение максимального изгибающего момента  $M_{max}$ , который получается в точке  $A'$  (см. фиг. 1), в зависимости от отношения  $R_0/R_1$ . Пунктиром на рисунке показана величина этого момента для случая, когда плита считается теоретически бесконечной [4]. На основании этого графика можно заключить, что

погрешность приближенного (т. е. когда плита считается „бесконечной“) определения максимального изгибающего момента  $M_{max}$  равна

$$\begin{aligned} 20,4\% & \quad \text{при} \quad R_0/R_1 = 5, \\ 6,4\% & \quad \text{при} \quad R_0/R_1 = 10, \\ 3,8\% & \quad \text{при} \quad R_0/R_1 = 20. \end{aligned}$$

Таким образом, при определении максимального изгибающего момента практически можно считать плиту „бесконечной“ при  $R_0/R_1 > 10$ . Для меньших отношений радиуса плиты к радиусу отверстия это решение дает для максимального изгибающего момента  $M_{max}$  завышенные значения.

Саратовский государственный  
университет

Получила 28 VI 1965

Վ. Վ. ՄԵԼԼԻՍԿԻ

ԷԼԻՏԱԿԱՆ ԱՆՅԷ ՈՒՆԵՏՈՎ ԱՆԻՉՈՏՐՈՎ ԷԼԻՊՍԱԿԱՆ ՍՈՒՐ ԵՔՈՒՐԸ

Ս. Վ Փ Ն Փ Ն Վ

Ցրված է էլիպտիկան անկյւ ունեցող անիզոտրոպ էլիպտիկան սայի ծովան ինչոր լուծմամբ. երբ սայի ներքին կորը կոշտ ամրակցված է իւր սրտաքին եղում ազդում են հախտաբաշարի բաշխված ծող մոմենտները: Խնդրի լուծումը բերված է զծային հանրահաշվական հախտաբաշարի ան-

վերջ սիստեմի լուծման: Յուրջ է արված որ սալի միջին հարթութիւնը սահմանափակող եզրերի ցանկացած մոտիկութիւն զեպքում այդ սիստեմը հանդիսանում է յվաղիսեղուլար:

Երկրան էն աղյուսակներ և կոտորցված գրաֆիկներ, որոնք բնութարանում են սալի լարվածա-զեֆորմացիոն վիճակը՝ կախված նյութի սնդրոստրուկտից: Պարզարանված է. թե սալի ինչպիսի շափերի զեպքում այն կարելի է համարել ժանկերջ:

V. V. MEGLINSKY

## BENDING OF AN ANISOTROPIC ELLIPTIC PLATE WITH AN ELLIPTIC HOLE

### Summary

The solution is given of the problem of the bending of an elliptic plate with an elliptic hole under actions of bending moments, uniformly distributed on external contour of the plate. The inner contour is rigidly pinched.

The solution of the problem is reduced to the solution of infinite system of linear algebraic equations. This system is shown to be quasi-regular at any nearing between contours, limiting the middle plane of the plate.

Tables and diagrams are presented, characterizing the stressed-deformed state of the plate according to the material anisotropy. It is found out at what plate sizes the latter may be considered to be „infinite“.

### ЛИТЕРАТУРА

1. Буаон А. К., Андреевская Г. Д. Стекловолокнистые анизотропные материалы и их техническое применение. Изд-во АН СССР, 1956.
2. Какторович Л. В., Крылов В. И. Приближенные методы высшего анализа. Гостехиздат, М.-Л., 1959.
3. Козмодамианский А. С. О квазирегулярности бесконечных систем в задаче о концентрации напряжений возле криволинейных отверстий. Прикл. механика, т. 1, в. 1, 1965.
4. Лехницкий С. Г. Анизотропные пластины. Гостехиздат, 1957.
5. Маркушевич А. И. Теория эллиптических функций. Гостехиздат, 1950.
6. Меглинский В. В. Изгиб анизотропной эллиптической плиты, несимметрично вырезанной эллиптическими отверстиями. Прикл. механика, т. 1, в. 4, 1965.
7. Смирнов В. И. Курс высшей математики, т. 1. Физматгиз, М., 1961.
8. Смирнов В. И., Лебедев И. А. Конструктивная теория функций комплексного переменного. Изд-во «Наука», М. А., 1964.

А. П. МЕЛКОНЯН, А. А. ХАЧАТРЯН

## О КОЛЕБАНИЯХ ТРАНСВЕРСАЛЬНО-ИЗОТРОПНЫХ КРУГЛЫХ ПЛАСТИНОК

Исходя из уточненной теории анизотропных пластинок, изложенной в работе [1], решаются задачи о колебаниях круглых трансверсально-изотропных пластинок при различных условиях закрепления по контуру. Полученные результаты для некоторых частных случаев сравниваются с соответствующими результатами, получаемыми по классической теории пластинок.

1. Задача об изгибе трансверсально-изотропных пластинок по уточненной теории С. А. Амбарцумяна [1], учитывающей влияние поперечных сдвигов и нормальных напряжений в плоскостях, параллельных срединной плоскости пластинки, приводится к следующей системе двух независимых уравнений относительно нормального перемещения  $w$  и некоторой функции  $\Phi$  [2]

$$\begin{aligned} D \Delta \Delta w - Z - k_0 \Delta Z, \\ \Delta \Phi - \xi_0^2 \Phi = 0, \end{aligned} \quad (1.1)$$

Изгибающие и крутящий моменты и перерезывающие силы выражаются через функции  $w$  и  $\Phi$  следующим образом:

$$\begin{aligned} M_r &= -D \left[ \frac{\sigma^2 w}{r^2} + \nu \left( \frac{1}{r} \frac{\sigma w}{\sigma r} - \frac{1}{r^2} \frac{\sigma^2 w}{\sigma^2 r} \right) \right] - \frac{2D}{\xi_0} \left( \frac{1}{r} \frac{\sigma}{\sigma r} + \frac{1}{r^2} \frac{\sigma^2}{\sigma^2 r} \right) \Delta w + \\ &+ \frac{2}{\xi_0} \frac{\sigma}{\sigma r} \left( \frac{1}{r} \frac{\sigma \Phi}{\sigma r} \right) - k_0 \left[ Z - \frac{2}{\xi_0} \left( \frac{1}{r} \frac{\sigma Z}{\sigma r} + \frac{1}{r^2} \frac{\sigma^2 Z}{\sigma^2 r} \right) \right], \\ M_\theta &= D \left[ \frac{\sigma^2 w}{r^2} - \left( \frac{1}{r} \frac{\sigma w}{\sigma r} - \frac{1}{r^2} \frac{\sigma^2 w}{\sigma^2 r} \right) \right] - \frac{2D}{\xi_0} \frac{\sigma^2}{\sigma r^2} (\Delta w) - \\ &- \frac{2}{\xi_0} \frac{\sigma}{\sigma r} \left( \frac{1}{r} \frac{\sigma \Phi}{\sigma r} \right) - k_0 \left( Z - \frac{2}{\xi_0} \frac{\sigma Z}{\sigma r} \right), \quad (1.2) \\ H &= (1 - \nu) D \frac{\sigma}{\sigma r} \left( \frac{1}{r} \frac{\sigma w}{\sigma r} \right) - \frac{2D}{\xi_0} \frac{\sigma}{\sigma r} \left[ \frac{1}{r} \frac{\sigma}{\sigma r} (\Delta w) \right] + \\ &+ \Phi - \frac{2}{\xi_0} \frac{\sigma \Phi}{\sigma r} - \frac{2k_0}{\xi_0} \frac{\sigma}{\sigma r} \left( \frac{1}{r} \frac{\sigma Z}{\sigma r} \right), \\ N_r &= -D \frac{\sigma}{\sigma r} (\Delta w) - \frac{1}{r} \frac{\sigma \Phi}{\sigma r} - k_0 \frac{\sigma Z}{\sigma r}, \end{aligned}$$

$$N_0 = -D \frac{1}{r} \frac{\partial}{\partial \theta} (\Delta w) - \frac{\partial \Phi}{\partial r} - k_0 \frac{1}{r} \frac{\partial Z}{\partial \theta},$$

где

$$k_0^2 = \frac{10 G'}{G h^2}, \quad k_0 = \frac{h^2}{10(1-\nu)} \left( 2 \frac{G}{G'} - \nu' \frac{E}{E'} \right), \quad (1.3)$$

$\Delta$  — оператор Лапласа;  $h$ ,  $D$  — толщина и изгибная жесткость пластинки;  $E$ ,  $G$ ,  $\nu$  — модуль упругости, модуль сдвига и коэффициент Пуассона в плоскости изотропии, параллельной срединной плоскости пластинки;  $E'$ ,  $G'$ ,  $\nu'$  — модуль упругости, модуль сдвига и коэффициент Пуассона в плоскостях, перпендикулярных плоскости изотропии;  $Z$  — интенсивность распределенной поперечной нагрузки.

Уравнения свободных колебаний ненагруженной пластинки, а также все необходимые расчетные величины получим из приведенных выше формул, если в них положить

$$Z = -\gamma_0 h \frac{\sigma^2 w}{g \sigma t^2}, \quad (1.4)$$

где  $\gamma_0$  — удельный вес материала пластинки,  $g$  — ускорение силы тяжести.

2. Рассмотрим задачу о свободных колебаниях сплошной круглой пластинки радиуса  $a$ , изготовленной из трансверсально-изотропного материала.

Подставив (1.4) в (1.1), для свободных колебаний ненагруженной пластинки получим следующие уравнения

$$\begin{aligned} \Delta \Delta w + \frac{\gamma_0 h}{g l} (1 - k_0 \Delta) \frac{\partial^2 w}{\partial t^2} &= 0, \\ \Delta \Phi - k_0^2 \Phi &= 0. \end{aligned} \quad (2.1)$$

Решение уравнений (2.1), соответствующее колебанию пластинки с  $n$  узловыми диаметрами, можно представить в форме

$$\begin{aligned} w(r, \theta, t) &= W(r) \cos n\theta \cos \omega t, \\ \Phi(r, \theta, t) &= F(r) \sin n\theta \cos \omega t, \end{aligned} \quad (2.2)$$

где  $\omega$  — круговая частота собственных колебаний пластинки.

Тогда для  $W(r)$  и  $F(r)$  получим следующие обыкновенные дифференциальные уравнения

$$\begin{aligned} \Delta_n \Delta_n W + \frac{\gamma_0 h}{g l} (1 - k_n \Delta_n) W &= 0, \\ \Delta_n F - k_n^2 F &= 0, \end{aligned} \quad (2.3)$$

где

$$\Delta_n = \frac{d^2}{dr^2} + \frac{1}{r} \frac{d}{dr} - \frac{n^2}{r^2}. \quad (2.4)$$

Общее решение уравнений (2.3) имеет вид

$$\begin{aligned} W(r) &= C_1 J_n(\gamma_0 r) + C_2 Y_n(\gamma_0 r) + C_3 I_n(\gamma_0 r) + C_4 K_n(\gamma_0 r), \\ F(r) &= C_5 I_n(\gamma_0 r) + C_6 K_n(\gamma_0 r), \end{aligned} \quad (2.5)$$

где  $J_n$ ,  $Y_n$  и  $I_n$ ,  $K_n$  — функции Бесселя действительного и мнимого аргументов;  $C_1, \dots, C_6$  — постоянные интегрирования;

$$\left. \begin{array}{l} \gamma_0 \\ \gamma_0 \end{array} \right\} = \left[ 1 \pm \sqrt{\left( \frac{\gamma_0 h \omega^2 k_0}{2 \sigma D} \right)^2 + \frac{\gamma_0^2 h^2 \omega^2}{g D} - \frac{\gamma_0 h k_0 \omega^2}{2 \sigma D}} \right]^{1/2}. \quad (2.6)$$

В силу того, что пластинка сплошная, в (2.5) следует положить  $C_2 = C_1 = C_6 = 0$ . На основании этого из (2.2) и (2.5) окончательно будем иметь

$$\begin{aligned} w(r, \theta, t) &= [C_1 J_n(\gamma_0 r) + C_3 I_n(\gamma_0 r)] \cos n\theta \cdot \cos \omega t, \\ \Phi(r, \theta, t) &= C_5 I_n(\gamma_0 r) \sin n\theta \cdot \cos \omega t. \end{aligned} \quad (2.7)$$

Постоянные интегрирования  $C_1$ ,  $C_3$ ,  $C_5$ , входящие в (2.7), должны определяться из условий закрепления пластинки по контуру  $r = a$ .

Рассмотрим два случая закрепления пластинки по контуру.

#### а) Пластинка шарнирно закреплена по контуру

В случае шарнирного закрепления пластинки по контуру имеют следующие граничные условия [1]:

$$\text{при } r = a \quad \left\{ \begin{array}{l} w = 0, \\ M_r = 0, \end{array} \right. \quad \sigma = \frac{12}{h^3} N_t = 0, \quad (2.8)$$

Пользуясь выражениями (1.2), (1.4), (2.7), из граничных условий (2.8) получим следующую однородную систему алгебраических уравнений относительно постоянных  $C_1$ ,  $C_3$ ,  $C_5$ :

$$\begin{aligned} C_1 J_n(\gamma) + C_3 I_n(\beta) &= 0, \\ C_1 \left\{ \gamma^2 \left( 1 + \frac{2n^2}{\gamma^2} \right) J_n(\gamma) + \gamma \left[ (1-n) - \frac{2\gamma^2}{\gamma^2} \right] J_n'(\gamma) \right\} + \\ + C_3 \left\{ -\beta^2 \left( 1 - \frac{2n^2}{\beta^2} \right) I_n(\beta) + \beta \left[ (1-n) + \frac{2\beta^2}{\beta^2} \right] I_n'(\beta) \right\} + \\ + C_5 \frac{2a^2 n}{(2D)} [\beta I_n(\beta) - I_n(\beta)] &= 0, \end{aligned} \quad (2.9)$$

$$C_1 \gamma^2 J_n(\gamma) - C_3 \beta^2 I_n(\beta) + C_5 \frac{a^2 \beta^2}{nD} I_n(\beta) = 0,$$

где

$$\begin{aligned} \gamma &= \gamma_0 a, \quad \beta = \beta_0 a, \quad \delta = \delta_0 a, \\ J_n(x) &= J_{n-1/2}(x) - \frac{n}{x} J_n(x), \quad I_n(x) = I_{n-1/2}(x) - \frac{n}{x} I_n(x). \end{aligned} \quad (2.10)$$

Приравнявая нулю определитель этой системы, после некоторых преобразований получим следующее трансцендентное уравнение для определения частот собственных колебаний пластинки

$$(1 - \nu) \left[ \beta \frac{J_{n-1}(\beta)}{J_n(\beta)} - \alpha \frac{J_{j-1}(\alpha)}{J_j(\alpha)} \right] - \frac{2\alpha\beta}{\alpha^2} \left[ \alpha \frac{J_{n-1}(\beta)}{J_n(\beta)} - \beta \frac{J_{j-1}(\alpha)}{J_j(\alpha)} \right] - (\alpha^2 - \beta^2) \left[ 1 - \frac{2\nu}{\alpha^2} \frac{J_{n-1}(\alpha)}{J_n(\alpha)} \right] = 0, \quad (2.11)$$

Следует отметить, что между  $\alpha$  и  $\beta$  существуют следующие зависящие из (2.6) зависимости

$$\alpha^2 \beta^2 = \frac{2c_1 h a^2 \omega^2}{gD}, \quad \alpha = \frac{\alpha}{1 + k^2}, \quad \left( k = \frac{k_p}{a^2} \right), \quad (2.12)$$

Частоты собственных колебаний  $\omega_{nj}$  для каждого значения  $n$  и  $j$  ( $n = 0, 1, 2, \dots; j = 1, 2, \dots$ ), согласно (2.12), определяются через корни уравнения (2.11) следующей формулой

$$\omega_{nj} = \frac{1}{a^2} \sqrt{\frac{gD}{2c_1} \frac{\alpha^2}{1 + k^2}}, \quad (2.13)$$

где  $\alpha_j$  —  $j$ -тый корень уравнения (2.11) при фиксированном значении  $n$ .

Из уравнения (2.11), как частный случай, можно получить соответствующее уравнение для определения частот собственных колебаний, найденное по классической теории пластинок. Для этого полагая в уравнении (2.11)  $k = 0$  и выполняя предельный переход при  $\beta \rightarrow \infty$ , получим [3]

$$\frac{J_{n-1}(\alpha)}{J_n(\alpha)} - \frac{J_{j-1}(\alpha)}{J_j(\alpha)} - \frac{2\alpha}{1 - \nu} = 0, \quad (2.11^*)$$

Соответствующие же частоты собственных колебаний определяются через корни уравнения (2.11<sup>\*</sup>) по формуле (2.13) при  $k = 0$ .

Очевидно, что при учете деформаций поперечных сдвигов и нормальных напряжений, действующих в плоскостях, параллельных срединной плоскости (характеризуемых отношениями  $\frac{E}{G}$  и  $\frac{E}{E'}$  соответственно), нахождение корней уравнения частот (2.11), а следовательно, и определение частот собственных колебаний существенно осложняется.

На основании полученных выше формул произведены вычисления<sup>\*</sup> корней уравнения (2.11) и соответствующих им частот при некоторых значениях отношений упругих постоянных  $\left(\frac{E}{G}\right)$  и относительной толщины пластинки  $\left(\frac{h}{a}\right)$  с учетом лишь поперечных сдвигов  $\left(\frac{E}{E'} = 0\right)$ .

\* Вычисления выполнены на ЭВМ «Раздан 2» Всесоюзного центра АН УССР.

Таблица 1

$E G$		0		2,6		5		
		$\gamma_{1j}$	$\gamma_{2j}^0$	$\gamma_{1j}$	$\gamma_{2j}^0$	$\gamma_{1j}$	$\gamma_{2j}^0$	
$\frac{h}{a}$	$\frac{1}{10}$	" 0	2,2215	4,9352	2,2227	4,9057	2,2237	4,8791
			5,4516	29,7201	5,4541	28,5585	5,4563	27,5991
		" 1	3,7280	13,8982	3,7298	13,6426	3,7313	13,4188
$\frac{h}{a}$	$\frac{1}{5}$	" 1	6,9627	48,4790	6,9658	45,4728	6,9684	43,1430
			" 2	5,0610	25,6134	5,0633	24,7463	5,0653
		" 0	8,3736	70,1171	8,3773	64,0505	8,3801	59,6544
$\frac{h}{a}$	$\frac{1}{5}$	" 0			2,2260	4,8206	2,2300	4,7216
					5,4606	25,7515	5,4669	23,2190
		" 1			3,7346	12,4530	3,7399	12,2325
$\frac{h}{a}$	$\frac{1}{5}$	" 1			6,9733	38,9856	6,9797	33,8545
			" 2			5,0694	22,5938	5,0755
		" 0			8,3852	52,3557	8,3914	44,1169

В табл. 1 приведены значения первых двух корней  $\gamma_{1j}$  ( $j = 1, 2$ ) уравнения (2.11) и соответствующие им величины

$$v_{1j}^0 = a^2 \sqrt{\frac{v_{10} h}{g D} \gamma_{1j}}$$

для каждого из значений  $n = 0, 1, 2$ .

Во всех расчетах принималось  $\nu = 0,3$ .

Отметим, что рассмотренный здесь случай  $E G = 0$  соответствует результатам классической теории пластинок, а  $E G = 2,6$  — случаю изотропной пластинки.

Здесь при  $E G = 0$  не приведены значения  $\gamma_{1j}$  и  $v_{1j}^0$  для случая

$\frac{h}{a} = \frac{1}{5}$ , так как они совпадают с соответствующими результатами

при  $\frac{h}{a} = \frac{1}{10}$ , поскольку, как известно, результаты классической теории

не зависят от отношений  $\frac{h}{a}$ .

Результаты вычислений, приведенные в таблице 1, показывают, что частоты собственных колебаний пластинки при учете поперечных сдвигов заметно отличаются (и в сторону уменьшения) от соответствующих частот, найденных по классической теории пластинок. Это расхождение увеличивается с увеличением отношений  $E G$  и  $\frac{h}{a}$ , причем, оно тем больше, чем больше  $n$  и  $j$ .

## б) Пластинка заземлена по контуру

В случае заземления пластинки по контуру имеем следующие граничные условия:

$$\text{при } r = a \left\{ \begin{array}{l} w = 0 \\ u_r = -z \frac{\partial w}{\partial r} - \frac{6}{h^2 G^*} \left( \frac{h}{4} z - \frac{z^2}{3} \right) \cdot N_r = 0 \\ u_\theta = -z \frac{1}{r} \frac{\partial w}{\partial \theta} - \frac{6}{h^2 G^*} \left( \frac{h}{4} z - \frac{z^2}{3} \right) N_\theta = 0 \end{array} \right. \quad z = z_0 \quad (2.14)$$

Здесь, как и в [2,4], принимается, что условия равенства нулю тангенциальных перемещений  $u_r$  и  $u_\theta$  и заземлении выполняются лишь по двум окружностям  $z = z_0$  ( $0 < z_0 < \frac{h}{2}$ ) боковой поверхности пластинки.

Пользуясь выражениями (1.2), (1.4) и (2.7), из граничных условий (2.14) после некоторых преобразований получим следующую однородную систему алгебраических уравнений относительно  $C_1, C_2, C_3$ :

$$C_1 J_n(z) - C_2 I_n(z) = 0,$$

$$C_1 (1 - q^2)^2 J_n(z) - C_2 (1 - q^2)^2 I_n(z) - C_3 \frac{na^2}{D} q I_n(z) = 0, \quad (2.15)$$

$$C_1 z^2 J_n(z) - C_2 z^2 I_n(z) - G_3 \frac{a^2 z}{nD} I_n(z) = 0,$$

где

$$q = \frac{10}{(1 - \nu)^2} \left( \frac{1}{4} - \frac{z_0^2}{3h^2} \right).$$

Приравняв нулю определитель системы (2.15), получим следующее трансцендентное уравнение для определения частот собственных колебаний пластинки

$$\begin{aligned} & z \frac{I_{n-1}(z)}{I_n(z)} - z \frac{J_{n-1}(z)}{J_n(z)} + \\ & + \frac{10}{(1 - \nu)^2} \left( \frac{1}{4} - \frac{z^2}{3h^2} \right) z \left[ z \frac{I_{n-1}(z)}{I_n(z)} - z \frac{J_{n-1}(z)}{J_n(z)} \right] - \\ & - n(z - z_0) \frac{I_{n-1}(z)}{I_n(z)} \Big| = 0. \end{aligned} \quad (2.16)$$

Частоты собственных колебаний  $\omega_{nj}$  определяются через корни уравнения (2.16) с помощью формулы (2.13).

Из (2.16), как частный случай (полагая  $k = 0$  и  $z = -\infty$ ), получается следующее уравнение частот, соответствующее классической теории пластинок [3,5]

$$J_n(z) I_{n-1}(z) - J_{n-1}(z) I_n(z) = 0. \quad (2.16^*)$$

Частоты же собственных колебаний определяются через корни уравнения (2.16\*) по формуле (2.13) при  $k=0$ .

Здесь так же, как и в предыдущей задаче, вычислены корни уравнения (2.16) и соответствующие им частоты для тех же соотношений упругих постоянных и размеров пластинки при двух значениях отношения  $z_0/h$ .

Результаты вычислений при  $\frac{z_0}{h} = \frac{1}{10}$  и  $\frac{1}{2}$  приведены соответственно в табл. 2 и 3.

Таблица 2

EG		0		2.6		5	
		$\gamma_{aj}$	$\gamma_{aj}^0$	$\gamma_{aj}$	$\gamma_{aj}^0$	$\gamma_{aj}$	$\gamma_{aj}^0$
$\frac{h}{a} = \frac{1}{10}$	$n=0$	3.1962 6.3064	10.2158 39.7711	3.1747 6.2143	9.9364 36.6488	3.1557 6.1418	9.6968 34.3314
	$n=1$	4.6109 7.7993	21.2604 60.8287	4.5601 7.6590	20.2035 54.2877	4.5178 7.5575	19.3544 49.8300
	$n=2$	5.9057 9.1969	34.8771 84.5827	5.8185 9.0052	32.3273 73.0694	5.7510 8.8800	30.4246 65.8657
$\frac{h}{a} = \frac{1}{2}$	$n=0$			3.1162 6.0131	9.2127 30.4149	3.0518 5.8616	8.5007 25.9346
	$n=1$			4.4357 7.3965	17.7776 42.9137	4.3229 7.2368	15.7334 35.7081
	$n=2$			5.6316 8.7041	27.1711 55.4634	5.4899 8.5557	23.3756 45.3202

Таблица 3

EG		0		2.6		5	
		$\gamma_{aj}$	$\gamma_{aj}^0$	$\gamma_{aj}$	$\gamma_{aj}^0$	$\gamma_{aj}$	$\gamma_{aj}^0$
$\frac{h}{a} = \frac{1}{10}$	$n=0$	3.1962 6.3064	10.2158 39.7711	3.1840 6.2521	9.9940 37.0739	3.1731 6.2083	9.8013 35.0134
	$n=1$	4.6109 7.7993	21.2604 60.8287	4.5809 7.7155	20.3824 55.0327	4.5555 7.6522	19.6616 50.9333
	$n=2$	5.9057 9.1969	34.8771 84.5827	5.8529 9.0805	32.6938 74.1797	5.8109 8.9994	31.0121 67.3743
$\frac{h}{a} = \frac{1}{2}$	$n=0$			3.1502 6.1269	9.4050 31.4027	3.1140 6.0230	8.8039 27.0594
	$n=1$			4.5048 7.5443	18.2838 44.3035	4.4319 7.4230	16.4159 37.0563
	$n=2$			5.7334 8.8734	28.0265 57.1239	5.6342 8.7482	24.3637 46.7315

Результаты вычислений, приведенные в табл. 2 и 3, приводят к аналогичным предыдущей задаче выводам.

Отметим также, что в рассматриваемой задаче при прочих одинаковых условиях с увеличением  $z_0$  частоты собственных колебаний увеличиваются.

Институт математики и механики

АН Армянской ССР

Поступила 20 IV 1965

Ա. Պ. ՄԵԼԿՈՆԻԱՆ, Ա. Ա. ԽԱՇՉԱՏՐԻԱՆ

ՏՐԱՆՍՎԵՐՍԱԼ-ԻԶՈՏՐՈՊԻ ԿՐԱԲ ՍԱՏՎԱԿՆԵՐՆԵՐԻ ՈՍԿԻԼ

Ա Վ Փ Ո Փ Ո Ր

Աշխատանքում գիտարկված է տրանսվերսալ-իզոտրոպ նյութից ստացված կրթ սալերի սեփական առանձնամների խնդիրը, կենտրոն  $H$ ,  $H$ , շամբարձումիանի կողմից առաջադրված սալերի ծաման ճշգրտված տեսությունից [1]:

Գիտարկված են սալի ստրագման երկու տարրեր գեոլրեր, ա) երբ սալը ձգող ճամբարից է հողակապրեն է, բ) երբ սալը եզրով ճամբարից է:

Գիտարկված խնդիրների համար ստացված են տրանսցենդենտ հավասարումներ, որոնց միջոցով որոշվում են սալի սեփական առանձնամների հաճախականությունները: Ազդուսակներում բերված են թվային արդյունքները, որոնք համեմատված են սալերի կլասիկ տեսությունով ստացվող համապատասխան արդյունքների հետ:

A. P. MELKONIAN, A. A. KHATCHATRIAN

## ON THE VIBRATIONS OF TRANSVERSAL-ISOTROPIC CIRCULAR PLATES

### S u m m a r y

The problem of vibration of circular transversal isotropic plates is solved by the proposed improved theory of anisotropic plates (1) under various attaching conditions on the contour of plates.

The obtained results for some particular problems are compared with the corresponding results of the classical theory of plates (1).

### Л И Т Е Р А Т У Р А

1. Амбарцумян С. А. Теория пнзотропных оболочек. Физматгиз, М., 1961.
2. Мелконян А. П., Хачатрян А. А. Об устойчивости трансверсально-изотропных круглых пластин. Известия АН АрмССР, Механика, 19, № 2, 1966.
3. Боднер Б. А. Устойчивость пластики под действием периодических сил. ПММ, 2, вып. 1, 1938.
4. Москаленко В. Н. К применению уточненных теорий изгиба пластин и задаче о собственных колебаниях. Инженерный журнал, 1, вып. 3, 1961.
5. Пономарев С. Д., Бидерман В. А. и др. Расчеты на прочность в машиностроении, т. III, Машгиз, М., 1959.
- 3 Известия АН АрмССР, Механика, № 3

А. Ш. ПЕТОЯН

## УСТОЙЧИВОСТЬ КРУГЛОЙ ТРАНСВЕРСАЛЬНО-ИЗОТРОПНОЙ ПЛИТЫ ПРИ ЕЁ СЖАТИИ РАВНОМЕРНО РАСПРЕДЕЛЕННОЙ ПО КОНТУРУ РАДИАЛЬНОЙ НАГРУЗКОЙ

### § 1. Основное уравнение задачи

В статье [6] уточненная теория изгиба трансверсально-изотропной плиты во втором приближении приведена к интегрированию уравнений

$$\nabla^4 \Phi_0 = \frac{q}{D}, \quad \nabla^2 z - \frac{2}{s_0^2 h^2} z = 0, \quad (1.1)$$

где  $D$  — цилиндрическая жесткость,  $h$  — полутолщина плиты,  $q$  — поперечная нагрузка;

$$D = \frac{2Eh^3}{3(1-\nu^2)}, \quad s_0^2 = \frac{G}{G_1} \quad (1.2)$$

$E$  и  $G$  — упругие постоянные в плоскостях изотропии, параллельных срединной плоскости,  $G_1$  — модуль сдвига в перпендикулярном направлении.

При осесимметричных деформациях плиты  $z = 0$ , и задача приводится к интегрированию первого из уравнений (1.1) при кинематических краевых условиях, налагаемых на прогиб  $w_0$  и элементарное вращение  $\omega_r$ , и статических условиях, налагаемых на поперечную силу  $N_r$  и радиальный изгибающий момент  $M_r$  на контуре плиты.

Перечисленные величины определяются через функцию  $\Phi_0$  формулами:

$$\begin{aligned} w_0 &= \left[ 1 + \frac{3\nu_2 - 8\nu_1^2}{10(1-\nu^2)} h^2 \nabla_r^2 \right] \Phi_0, \\ \omega_r &= \left[ 1 - \frac{7}{15} \frac{s_0^2 - \nu_2}{1-\nu^2} h^2 \nabla_r^2 \right] \frac{d\Phi_0}{dr}, \end{aligned} \quad (1.3)$$

$$N_r = -D \frac{d}{dr} \nabla_r^2 \Phi_0$$

$$M_r = -D \left( \frac{d^2}{dr^2} + \nu \frac{1}{r} \frac{d}{dr} - \frac{2}{5} \nu_2 h^2 \frac{1}{r} \frac{d}{dr} \nabla_r^2 \right) \Phi_0 \quad (1.4)$$

В рассматриваемых в данной статье задачах устойчивости вместо  $q$  нужно подставить

$$q = -T \nabla_r^2 w_0 \quad (1.5)$$

Уравнение устойчивости записывается в виде

$$\Delta^2 \Phi + k^2 r^2 (1 - \nu^2 \tau^2) \Phi_{,rr} = 0, \quad (1.6)$$

где

$$\Delta^2 = \frac{d^2}{dr^2} + \frac{1}{r} \frac{d}{dr}, \quad \nu = \frac{r}{R}, \quad k = \frac{TR^2}{D}, \quad \tau^2 = \frac{8s_1^2 - 3\nu_1}{10(1-\nu)} \left(\frac{h}{R}\right)^2 \quad (1.7)$$

Общий интеграл уравнения (1.6) с учетом условий в центре плиты  $\frac{d\Phi}{dr} = 0$  и  $N = 0$  при  $r = 0$  записывается так:

$$\Phi = c_1 J_0(\nu) + c_2, \quad (1.8)$$

где  $J_0(\nu)$  — функция Бесселя первого рода нулевого порядка, а коэффициент  $k$  задается формулой

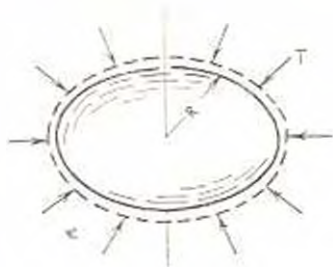
$$k = \frac{k}{1 - \nu^2 k}, \quad (1.9)$$

## § 2. Плита, свободно опертая по контуру

В (1.8) постоянную  $c_2$  можно принять равной нулю, а  $c_1$  нужно определить из условий  $M = 0$  при  $r = R$ . Подставив (1.8) в уравнение (1.4) и учитывая, что

$$\nu^2 J_0(\nu) = -\nu^2 J_0(\nu),$$

$$\frac{d}{dr} J_0(\nu) = -\nu J_1(\nu), \quad (2.1)$$



Фиг. 1.

получим характеристическое уравнение для определения  $\nu$

$$J_1(\nu) - \frac{1 - \nu - 3\nu^2}{\nu} J_1(\nu) = 0, \quad (2.2)$$

где

$$\nu = \frac{2}{5} \nu_1 \frac{k^2}{k^2}, \quad (2.3)$$

Определив из (2.2)  $\nu_c$  для критической нагрузки  $T = T_{cr}$  получаем формулу

$$T_{cr} = k \frac{D}{R^2}, \quad k = \frac{\nu^2}{1 - \nu^2}. \quad (2.4)$$

При  $\nu = 0$  формула (2.2) дает уравнение для определения  $\nu$  по классической теории изгиба плит. Как видно из (2.2), корни уравнения (2.2) зависят от величин  $\nu_1$  и  $\tau^2$ .

## § 3. Плита, зажатая по контуру

В этом случае характеристическое уравнение получается из условия  $\nu = 0$  при  $\nu = 1$ . Имеем

$$J_1(\nu) = 0. \quad (3.1)$$

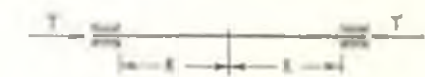
В отличие от предыдущего случая (2.2), здесь  $k$  определяется независимо от других параметров ( $\nu$  и  $\mu$ ). Наименьший корень уравнения (3.1) будет  $k = 3,832$ , поэтому для коэффициента первой критической нагрузки получаем формулу

$$k = \frac{14,68}{1 + 14,68 \nu^2} \quad (3.2)$$

В таблицах 1–5 приведены значения коэффициента  $k$  и разницы между значениями критической нагрузки, вычисленными по формуле

(2.4), и значениями, даваемыми классической теорией изгиба плит, для

ряда отношений  $\frac{h}{R}$  при  $\nu = 0,3$ .



Фиг. 2.

В табл. 1 приведены результаты для изотропной плиты, а в табл. 2, 3, 4 и 5 даны результаты для трансверсально-изотропной плиты при некоторых отношениях

$$\frac{G}{G_1} = \nu_2^2, \quad \nu_2 = \frac{E}{E_1}, \quad \nu_1 = 0,25 \frac{E}{E_2}$$

Таблица 1

Таблица 2

	$\frac{h}{R}$	$k$	$\left  \frac{T^* - T}{T^*} \cdot 100\% \right $
Свободно опертый край	1,6	3,7795	10,012
	1,8	3,948	6,000
	1,10	4,035	3,926
	1,12	4,082	2,800
Зажатый край	1,6	10,404	29,129
	1,8	11,917	18,824
	1,10	12,784	12,915
	1,12	13,312	4,322

	$\frac{G}{G_1}$	$\nu_2$	$\frac{E}{E_1}$	$\nu_1$	$\left  \frac{T^* - T}{T^*} \cdot 100\% \right $
Свободно опертый край	1,6	3,715	11,552		
	1,10	3,873	7,788		
	1,12	3,966	5,567		
	1,8	4,948	32,230		
Зажатый край	1,10	11,259	23,370		
	1,12	12,118	17,452		

Из приведенных таблиц видно, что расхождение величин критической нагрузки от вычисленных по классической теории по всем случаям является более значительным для зажатой пластинки. Для свободно опертой пластинки внесемая поправка незначительна для изотропных пластинок и существенна для сравнительно толстых трансверсально-изотропных пластинок.

В заключение отметим, что в работе [6] рассмотрена задача об устойчивости зажатой по контуру трансверсально-изотропной пластинки на основе гипотезы о нерастяжимом нормальном элементе ( $\varepsilon_2 = 0$ ,  $\varepsilon_3 = 0$ ) и о параболическом законе распределения касательных напряжений по толщине плиты [1]. Для коэффициента устойчивости  $k$  в ра-

Таблица 3

	$\frac{G}{G_1} = 3$		$\frac{E}{E_1} = 3$	
	$\frac{h}{R}$	$k$	$\frac{T^* - T}{T^*} \cdot 100\%$	
Свободно обёртый край	1,8	3,522	16,140	
	1,10	3,734	11,086	
	1,12	3,840	8,571	
Зажатый край	1,8	8,575	41,586	
	1,10	10,079	31,335	
	1,12	11,158	23,989	

Таблица 4

	$\frac{G}{G_1} = 4$		$\frac{E}{E_1} = 4$	
	$\frac{h}{R}$	$k$	$\frac{T^* - T}{T^*} \cdot 100\%$	
Свободно обёртый край	1,8	3,340	20,476	
	1,10	3,609	14,062	
	1,12	3,763	10,398	
Зажатый край	1,8	7,529	48,711	
	1,10	9,131	37,799	
	1,12	10,329	29,642	

боте [6] принята формула вида (3.2), в которой вместо  $\alpha^2$  получено выражение

$$\alpha^2 = \frac{2E}{5(1-\nu^2)G_1} \frac{h^2}{R^2} \quad (3.3)$$

Из пяти упругих постоянных для трансверсально-изотропной среды в (3.3) входят только три. Остальные коэффициенты  $\nu_1$  и  $E_1$  потеряны при пренебрежении в обобщенном законе Гука нормального напряжения  $\sigma_r$  по сравнению с  $\sigma_\theta$  и  $\sigma_z$ .

Из сравнения (3.3) с формулой (1.7) для  $\alpha^2$  имеем

$$\frac{\alpha^2}{\alpha_1^2} = 1 - \frac{3}{8} \nu_1 \frac{G_1}{G} \quad (3.4)$$

Если положить  $\nu_1 = 0$ , то приходим к соответствующим результатам, полученным в работе [6].

Для изотропной плиты ( $G_1 = G$  и  $\nu_1 = 0.3$ ) получаем  $\alpha^2 = 0.887 \alpha_1^2$ .

Поэтому коэффициент устойчивости  $k$  для изотропной плиты по нашим результатам будет больше, чем по результатам работы [6]. Для изотропной плиты поправка к классической теории в нашей работе совпадает с соответствующей поправкой, полученной в работе [4].

Что же касается трансверсально-изотропной плиты, то отношение  $\alpha^2/\alpha_1^2$  зависит от конкретных значений величины  $\nu_1 G_1/G$ .

Таблица 5

	$\frac{G}{G_1} = 5$		$\frac{E}{E_1} = 5$	
	$\frac{h}{R}$	$k$	$\frac{T^* - T}{T^*} \cdot 100\%$	
Свободно обёртый край	1,8	3,126	25,564	
	1,10	3,448	17,910	
	1,12	3,638	13,373	
Зажатый край	1,8	6,468	55,943	
	1,10	8,102	44,807	
	1,12	8,393	29,202	

Ա. Շ. ՊԵՏՅԱՆ

ՏՐԱՆՍՎԵՐՍԱԼ-ԻԶՈՏՐՈՊ ԿՐԻ ՍԿՐԻ ԿԱՅՈՒՆՈՒՓՅՈՒՆԸ՝ ԵԶՐՈՎ  
ՀԵՎԱՍԱՐԱՅՈՒՄ ԲԱՇԽԼԱՅ ՀԱՐԱՎԳՆՅՈՒ ՌԵՅՈՆՈՎ ԱՅՆ ՍԵՂՄԵԼԻՍ

Ա Վ Փ Ո Փ Ա Ն ՈՒ

Հարվածում դիտարկվում է տրանսվերսալ-իզոտրոպ նյութից պատրաստած կրթ սայի կարևորիան խնդիրը. երբ սայի ամբողջ եզրով ազդում են համասարաչափ բաշխված շտապղալին սեղմող ուժեր: Աշխատության հիմնյում ընկած է սայերի ծաման ճշգրտված [8] տեսությունը:

A. SH. PETOYAN

ON THE FIRMNESS OF TRANSVERSAL ISOTROPIC  
CIRCULAR PLATE

S u m m a r y

In this paper are considered the problems of the stability of circular plate in the case of the action of constant load uniform compression in radial direction for the whole contour.

On the foundation of the solution of these problems lies the specified theory [8] of the plate bend.

## Л И Т Е Р А Т У Р А

1. Аджурджян С. А. К теории изгиба анизотропных пластин. Известия АН СССР, ОТН, № 5, 1956.
2. Лурье А. И. Пространственная задача теории упругости. ГИИТ, М., 1955, гл. III и IV.
3. Лехницкий С. Г. Упругое равновесие трансверсально-изотропного слоя и толстой пластины. ПММ, 26, вып. 4, 1962.
4. Муштару Х. М. Теория изгиба пласт средней толщины. Известия АН СССР, ОТН, мех. и машиностр., № 2, 1959.
5. Пьяковский В. В. К теории пластины средней толщины. ПММ, 26, вып. 2, 1962.
6. Хачатурян Т. Т. К теории изгиба и скрутки толстых пласт. Известия АН Арм. ССР, серия физ.-мат. наук, 16, № 6, 1963.
7. Хачатурян А. А. Об устойчивости и колебаниях круглых трансверсально-изотропных пластин. Известия АН Арм. ССР, серия физ.-мат. наук, 13, № 1, 1960.
8. Петоян А. Ш. К теории изгиба трансверсально-изотропной плиты. Сборник научных трудов ЕрПИ, 22, серия строительной механики, 1967.

А. М. СИМОНЯН

## НЕКОТОРЫЕ ТЕМПЕРАТУРНЫЕ ЦЕНТРАЛЬНО-СИММЕТРИЧНЫЕ ЗАДАЧИ НЕЛИНЕЙНОЙ НАСЛЕДСТВЕННОСТИ

В настоящей работе рассматриваются ниже следующие задачи.

1. Толстостенный сферический сосуд под действием теплового потока и давлений на полости.
2. Точечный источник тепла в бесконечном массиве.
3. Сферический сосуд с несжимаемой жидкостью.
4. Тонкостенный сферический сосуд.

Решение вышеуказанных задач дано для сред, подчиняющихся законам нелинейной наследственности [1].

В настоящей работе используется метод решения нелинейных интегральных уравнений Вольтерра второго рода, предложенный в работе [2].

Получить равномерно нагретого сферического сосуда под действием давлений на полости исследована в работе [3].

Случаи сферической полости в неограниченной среде при действии центрально-симметричного теплового потока для вязко-упругих сред Максвелла и Кельвина, а также при действии точечного (мгновенного и периодического) источника тепла на упругую среду рассмотрены в монографии [4].

В работе [5] рассмотрена температурная задача сферического сосуда в условиях пластической наследственности.

### § 1. О методе решения нелинейного интегрального уравнения

Рассмотрим уравнение

$$u(t) - \alpha \int_0^t K(t, \tau) u(\tau) d\tau - \beta \int_0^t K(t, \tau) f[u(\tau)] d\tau = g(t), \quad (1.1)$$

где  $\alpha$  — числовой параметр, а  $\beta$  — параметр, имеющий размерность

$$\left| \frac{u}{f(u)} \right|^{\beta}$$

В работе [2] приведен метод решения таких уравнений. При этом для сходимости решения требовалось, чтобы

$$|\beta| < \frac{\epsilon}{T^{\beta}}, \quad (1.2)$$

то есть для каждого  $\beta$  метод оказывался применимым лишь в некотором ограниченном промежутке времени.

Здесь, используя некоторые специфические свойства ядра релаксации, мы получим требование к  $\beta$  без каких-либо ограничений по времени. Основные приемы в нижеследующем выводе остаются теми же, что и в [2].

Решая линейную часть (1.1), получим

$$u(t) = h(t) + \beta \int_0^t H(t, \tau) f[u(\tau)] d\tau, \quad (1.3)$$

где

$$h(t) = g(t) + \alpha \int_0^t H(t, \tau) g(\tau) d\tau,$$

а  $H(t, \tau)$  — резольвента ядра  $K(t, \tau)$ .

Решение (1.3) ищем в виде

$$u(t) = u_0(t) + \beta u_1(t) + \beta^2 u_2(t) + \dots + \beta^n u_n(t) + \dots \quad (1.4)$$

Подставляя (1.4) в (1.3) и приравнявая выражения при равных степенях  $\beta$ , можно получить

$$u_{n+1}(t) = \sum_n \frac{1}{i_1! i_2! \dots i_n!} \int_0^t H(t, \tau) [u_0(\tau)]^{i_1} [u_1(\tau)]^{i_2} \dots \dots [u_n(\tau)]^{i_n} f^{(i_1+i_2+\dots+i_n)}(h(\tau)) d\tau \quad (n = i_1 + 2i_2 + \dots + ni_n). \quad (1.5)$$

Поставим практически выполнимое требование

$$|f^{(p)}(u)| < K_0 p! a^p, \quad (1.6)$$

где  $K_0$  и  $a$  — некоторые положительные постоянные.

Подставляя (1.6) в (1.5), получим

$$u_{n+1}(t) < \sum_n \frac{(i_1 + i_2 + \dots + i_n)!}{i_1! i_2! \dots i_n!} K_0 a^{i_1+i_2+\dots+i_n} \int_0^t H(t, \tau) |u_0(\tau)|^{i_1} \times \times |u_1(\tau)|^{i_2} \dots |u_n(\tau)|^{i_n} d\tau. \quad (1.7)$$

Из физических соображений можно принять

$$\left| \int_0^t H(t, \tau) d\tau \right| < H_1. \quad (1.8)$$

Условие (1.8) аналогично утверждению, что при задании телу произвольной деформации, не изменяющейся по времени, напряжения от релаксации не могут изменяться по величине неограниченно.

Рассмотрим значения числовой последовательности  $B_n$ , удовлетворяющей неравенству (1.9)

$$|u_n(t)| < \frac{B_n R_0^n}{a}, \quad (1.9)$$

$$R_0 = aK_0 H_T. \quad (1.10)$$

Полагая в (1.5)  $n=0$ , получим

$$u_1(t) = \int_0^t H(t, \tau) f[h(\tau)] d\tau < K_0 H_T,$$

т. е.  $B_1 = 1$ .

Подставим оценку (1.9) в (1.7)

$$u_{n+1}(t) \leq K_0 \sum_n \frac{(i_1 + i_2 + \dots + i_n)!}{i_1! \cdot i_2! \cdot \dots \cdot i_n!} R_0^n \cdot B_1^n \cdot B_1 \cdot \dots \cdot B_n^n \cdot H_T. \quad (1.11)$$

Отсюда видно, что можно принять рекуррентную зависимость

$$B_{n+1} = \sum_n \frac{(i_1 + i_2 + \dots + i_n)!}{i_1! \cdot i_2! \cdot \dots \cdot i_n!} B_1^n \cdot B_2^n \cdot \dots \cdot B_n^n. \quad (1.12)$$

Рассмотрим, каким требованиям должны удовлетворять  $A$  и  $\tau_0$ , чтобы выполнялось неравенство

$$B_n \leq A \tau_0^n. \quad (1.13)$$

Подставляя (1.13) в (1.12), получим

$$\delta_{n+1} = \sum_n \frac{(i_1 + i_2 + \dots + i_n)!}{i_1! \cdot i_2! \cdot \dots \cdot i_n!} A^{i_1 + i_2 + \dots + i_n} \tau_0^n = \tau_0^n \sum_{l=0}^n \sum_n \frac{n! \cdot A^l}{i_1! \cdot i_2! \cdot \dots \cdot i_n!}. \quad (1.14)$$

Здесь принято

$$i_1 + i_2 + \dots + i_n = l, \quad (1.15)$$

$$i_1 + 2i_2 + \dots + ni_n = n. \quad (1.16)$$

Неравенство (1.14) будет тем более удовлетворяться, если отбросить (1.16) и сумму распространить на все целые неотрицательные решения (1.15), а результат разделить на число всевозможных перестановок из  $l$  элементов (см. [2]).

Отсюда получим

$$\delta_{n+1} \leq \tau_0^n \sum_{l=0}^n \frac{A^l}{l!} \sum_n \frac{n!}{i_1! \cdot i_2! \cdot \dots \cdot i_n!} = \frac{\tau_0^n}{n!} \sum_{l=0}^n (nA)^l = \frac{(nA)^{n+1} - 1}{(nA - 1) \cdot n!} \tau_0^n. \quad (1.17)$$

Сравнивая условия (1.17) и (1.13), придем к неравенству

$$\frac{(nA)^{n+1} - 1}{nA - 1} \cdot \frac{1}{\tau_0 n!} \leq A. \quad (1.18)$$

При  $A = \frac{1}{e}$ ,  $\tau_0 = e$  неравенство (1.18) будет удовлетворено для любых целых  $n \geq 3$ , то есть

$$\frac{\left(\frac{n}{e}\right)^{n+1} - 1}{\left(\frac{n}{e} - 1\right) \cdot n!} < 1, \quad (1.19)$$

Действительно, используя известное неравенство

$$n! > 1 - 2^{-n} \cdot \left(\frac{n}{e}\right)^n, \quad (1.20)$$

будем иметь для  $n \geq 4$

$$\frac{\left(\frac{n}{e}\right)^{n+1} - 1}{\frac{n}{e} - 1} > \frac{e^n}{1 - 2^{-n} n^n} > \frac{n}{(n - e) \cdot 2^{-n}} < 1.$$

(Для  $n = 3$  неравенство (1.19) проверяется непосредственно).

Итак,  $B_n$ , определяющееся из формулы

$$B_n < e^{n-1}, \quad (1.21)$$

удовлетворяет неравенству (1.9), то есть

$$|u_n(t)| < \frac{e^{n-1}}{a} K^n, \quad n = 3, 4, \dots \quad (1.22)$$

В таком случае ряд (1.4) мажорируется числовым рядом

$$\sum_{n=3}^{\infty} \frac{1}{ae} (eK\beta)^n.$$

Отсюда видно, что сходимость ряда (1.4) гарантируется во всяком случае для

$$|\beta| < \frac{1}{eR_0}. \quad (1.23)$$

Отметим, что оценка (1.23), как и в [2], вообще говоря, имеет большой запас.

Рассмотрим численный пример.

Для старого базальтового бетона имеются следующие экспериментальные данные:

$$f(u) = u^2, \quad \beta = 5 \cdot 10^{-4} \left(\frac{m}{cm^2}\right)^{-0.2}, \quad \alpha = 0,999995,$$

$$\left| \int_0^1 H(t, \alpha) dt \right| < H_0 = 0,136, \quad m = 4.$$

Следует подобрать  $a$  и  $K_0$ , удовлетворяющие (1.6). Легко видеть, что при  $p > m = 4$  условие (1.6) удовлетворяется для любых  $a > 0$  и  $K_0 > 0$ , поэтому рассмотрим лишь случаи  $p < m$ :

$$f^{(p)}(u) = m(m-1)\cdots(m-p+1) \cdot u^{m-p} = \frac{m!}{(m-p)!} \cdot \frac{u^m}{u^p} \leq K_0 p! a^p.$$

Для  $m=4$  легко видеть, что последнее неравенство будет удовлетворено при

$$K_0 = 6a^4 \quad \text{и} \quad a = \frac{1}{u}.$$

Подставляя это в (1.10) и (1.23), получим, что при

$$\beta = 5 \cdot 10^{-6} \left( \frac{\kappa l}{\text{см}^2} \right)^{-3}$$

метод будет применим во всяком случае для

$$u \leq \sqrt[3]{\frac{1}{6e \cdot 0,136 \cdot 5 \cdot 10^{-6} \left( \frac{\kappa l}{\text{см}^2} \right)^3}} = 45 \text{ кг/см}^2.$$

## § 2. Постановка задачи и получение общих зависимостей

Рассмотрим толстостенный сосуд, ограниченный двумя концентрическими сферическими полостями радиусов  $R_1$  и  $R_2$  ( $R_1 < R_2$ ), находящейся под действием теплового потока  $T(r, t)$ .

Легко видеть, что при соответствующей конкретизации краевых условий, размеров  $R_1$  и  $R_2$  и функции  $T(r, t)$  можно прийти к любой из вышеуказанных задач.

Вследствие центральной симметрии деформаторы деформаций и напряжений имеют одинаковые главные направления в любой момент времени  $t$ , а потому зависимость между деформациями и напряжениями определяется уравнениями

$$\begin{aligned} \varepsilon_r(t) &= \frac{1}{2G(t)} \left[ \tau_r(t) - \frac{3\nu}{1+\nu} \sigma(t) \right] = \int_0^t \left[ \tau_r(\tau) - \frac{3\nu}{1+\nu} \sigma(\tau) \right] d\tau \\ \lambda \frac{\partial}{\partial t} \left[ \frac{1}{2G(\tau)} \right] d\tau &= \frac{3}{2} \int_0^t \left[ \tau_r(\tau) - \sigma(\tau) \right] F[\tau, \tau] \frac{\partial C(t, \tau)}{\partial \tau} d\tau = \lambda_0 \Delta T(r, t) \\ & \quad (r, \tau, \theta). \end{aligned} \quad (2.1)$$

Здесь приняты следующие обозначения

$$\sigma_0(t) = \frac{1}{3} [\sigma_1(t) + \sigma_2(t) + \sigma_3(t)], \quad (2.2)$$

$$\lambda_0 = \frac{1}{\sqrt{2}} \sqrt{(\nu_1 - \nu_2)^2 + (\nu_1 - \nu_3)^2 + (\nu_2 - \nu_3)^2 + 6(\nu_1^2 + \nu_2^2 + \nu_3^2)}, \quad (2.3)$$

$$\Delta T(r, t) = T(r, t) - T_0. \quad (2.4)$$

где  $T_0$  — температура, соответствующая отсутствию деформаций и напряжений (в случае отсутствия закреплений  $T_0$  произвольно),  $\alpha_0$  — коэффициент линейного расширения.

Принимая

$$f(z) = z + \beta z^{2m-1} \quad (2.5)$$

и пренебрегая изменением упругих постоянных во времени, из системы (2.1) получим

$$\begin{aligned} \varepsilon_r(t) - \varepsilon_r(t) = & \frac{1}{2G} [z_r(t) - z_r(t)] - \frac{3}{2} \int_0^t [z_r(\tau) - z_r(\tau)] \\ & \times [z + \beta z^{2m-1}] \frac{\sigma C(t, z)}{\sigma} dz. \end{aligned} \quad (2.6)$$

Учитывая центральную симметрию, из (2.3) найдем

$$\varepsilon_r = |\varepsilon_r - \varepsilon_r|. \quad (2.7)$$

Условие совместности деформаций и уравнение равновесия с учетом гипотезы Дюамеля в этом случае запишутся

$$\frac{\sigma_r}{\sigma r} + \frac{z_r - z_r}{r} = 0, \quad (2.8)$$

$$\frac{\sigma_r}{\sigma r} + \frac{2}{r} (z_r - z_r) = 0. \quad (2.9)$$

Подставляя (2.7), (2.8) и (2.9) в (2.6), получим

$$r \frac{\sigma_r}{\sigma r} = \frac{1}{4G} \sigma(r, t) - \frac{3}{4} \int_0^t [\beta z_r(r, \tau) - \beta z_r(r, \tau)] \frac{\sigma C(t, z)}{\sigma} dz, \quad (2.10)$$

где положено

$$z_r(r, t) = r \frac{\sigma_r(r, t)}{\sigma r}. \quad (2.11)$$

Отметим, что формула (2.10) справедлива при условии

$$(-|z|)^m = |z|^m \quad (2.12)$$

для любых  $m$ , в том числе и четных.

Из системы (2.1) получим условие реологической несжимаемости

$$z_r + z_r + z_r = k(z_r + z_r + z_r) - 3\alpha_0 \Delta T(r, t). \quad (2.13)$$

Подставляя (2.8) и (2.13) и решая полученное уравнение относительно  $z_r$ , получим

$$z_r = \frac{A(t)}{r^2} + \frac{3\alpha_0}{r^2} \int_0^t r \Delta T(r, t) dr + k z_r, \quad (2.14)$$

где  $A(t)$  — функция, определяемая из крайних условий.

Уравнения (2.10) и (2.14) дадут

$$z(r, t) = \lambda \int_0^t [z_0(r, \tau) + \beta z_0^m(r, \tau)] \frac{\partial C(t, \tau)}{\partial \tau} d\tau = \Phi(A, r, t), \quad (2.15)$$

где

$$\lambda = \frac{E}{4(1-\nu)}, \quad (2.16)$$

$$\Phi(A, r, t) = \frac{E}{r^2(1-\nu)} \left[ A(t) - z_0 \int_0^t r^2 \frac{\partial \Delta T(r, t)}{\partial r} dr \right]. \quad (2.17)$$

Аналогично (1.4), решение (2.15) ищем в виде

$$z(r, t) = z_0(r, t) + \beta z_1(r, t) + \beta^2 z_2(r, t) + \dots \quad (2.18)$$

Подставляя (2.18) в (2.15) и приравнивая члены при одинаковых степенях  $\beta$ , получим систему линейных уравнений:

$$z_0(r, t) = \lambda \int_0^t z_0(r, \tau) \frac{\partial C(t, \tau)}{\partial \tau} d\tau = \Phi(A, r, t), \quad (2.19)$$

$$z_1(r, t) = \lambda \int_0^t z_1(r, \tau) \frac{\partial C(t, \tau)}{\partial \tau} d\tau = \lambda \int_0^t [z_0(r, \tau)]^m \frac{\partial C(t, \tau)}{\partial \tau} d\tau, \quad (2.20)$$

$$\begin{aligned} z_2(r, t) = \lambda \int_0^t z_2(r, \tau) \frac{\partial C(t, \tau)}{\partial \tau} d\tau = \lambda m \int_0^t [z_0(r, \tau)]^{m-1} z_1(r, \tau) \frac{\partial C(t, \tau)}{\partial \tau} d\tau. \end{aligned} \quad (2.21)$$

Пользуясь обозначением

$$R^*v(t) = \int_0^t v(\tau) R(t, \tau) d\tau, \quad (2.22)$$

где  $R(t, \tau)$  — резольвента ядра  $\lambda \frac{\partial C(t, \tau)}{\partial \tau}$ , решения (2.19) и (2.20)

запишем в виде

$$z_0(r, t) = (1 - R^*)\Phi(A, r, t), \quad (2.23)$$

$$z_1(r, t) = \lambda (1 - R^*) \int_0^t [z_0(r, \tau)]^m \frac{\partial C(t, \tau)}{\partial \tau} d\tau. \quad (2.24)$$

Ограничиваясь в (2.18) двумя членами и используя тождество

$$\frac{\partial C(t, \tau)}{\partial \tau} = \int_0^t R(t, \tau) \frac{\partial C(\tau, \tau)}{\partial \tau} d\tau = \frac{1}{\lambda} R(t, \tau), \quad (2.25)$$

для решения (2.15) получим выражение

$$z(r, t) = (1 + R^*) \Phi(A, r, t) - \frac{3}{2} R^* [(1 + R^*) \Phi(A, r, t)]^m. \quad (2.26)$$

Запишем выражения для напряжений и перемещений через произвольные функции  $A(t)$  и  $B(t)$

$$z_r(r, t) = B(t) + \int_0^r \frac{1}{r} \left\{ (1 + R^*) \Phi(A, r, t) + \frac{3}{2} R^* [(1 + R^*) \Phi(A, r, t)]^m \right\} dr, \quad (2.27)$$

$$z_r(r, t) = z_r(r, t) + \frac{1}{2} \left\{ (1 + R^*) \Phi(A, r, t) - \frac{3}{2} R^* [(1 + R^*) \Phi(A, r, t)]^m \right\}. \quad (2.28)$$

$$u(r, t) = kr z_r(r, t) = \frac{3(1-\nu)r}{E} \int_0^r \Phi(A, r, t) \frac{dr}{r}. \quad (2.29)$$

Ниже займемся определением функций  $A(t)$  и  $B(t)$ , исходя из конкретных краевых условий.

### § 3. Толстостенный сферический сосуд под действием теплового потока и давлений на полости

Пусть на полостях радиусов  $R_1$  и  $R_2$  действуют давления соответственно  $q_1(t)$  и  $q_2(t)$ . Тогда из (2.27) будем иметь

$$\int_0^{R_2} \left\{ (1 + R^*) \Phi(A, r, t) - \frac{3}{2} R^* [(1 + R^*) \Phi(A, r, t)]^m \right\} \frac{dr}{r} = q_2(t) - q_1(t). \quad (3.1)$$

Положим, что  $m$  — целое положительное число.

Подставляя (2.17) и (3.1), вследствие справедливости (2.12), получим

$$\frac{R_2^3 - R_1^3}{3R R_2^2} (1 + R^*) A(t) + \frac{3}{2} \left( \frac{E}{1-\nu} \right)^{m-1} \cdot \frac{R_2^{3m} - R_1^{3m}}{3m R_1^{11} \cdot R_2^{11}}$$

$$R^* [(1 + R^*) A(t)]^m - \frac{m^2}{2} \left( \frac{E}{1-\nu} \right)^{m-1} \times$$

$$R^* \left\{ [(1 + R^*) A(t)]^{m-1} \int_0^{R_2} [(1 + R^*) \Phi(A, r, t)] \frac{dr}{r^{2m-1}} \right\} =$$

$$\frac{3}{2} \left( \frac{E}{1-\nu} \right)^{m-1} \frac{m(m-1)}{2!}$$

$$\times R^* \left\{ [(1 + R^*) A(t)]^{m-2} \int_0^{R_2} [(1 + R^*) \Phi(A, r, t)]^2 \frac{dr}{r^{2m-1}} \right\} =$$

$$\begin{aligned}
& + \dots + (-1)^{m-1} m \frac{\xi}{2} \left( \frac{E}{1-\nu} \right)^{m-1} R^* \left[ (1-R^*) A(t) \times \right. \\
& \times \int_{R_1}^{R_2} [(1+R^*) Z(r, t)]^{m-1} \frac{dr}{r^{2m-1}} - \frac{1-\nu}{E} [q_2(t) - q_1(t)] + \\
& + \int_{R_1}^{R_2} (1+R^*) Z(r, t) \frac{dr}{r^2} + (-1)^{m-1} \frac{\xi}{2} \left( \frac{E}{1-\nu} \right)^{m-1} \times \\
& \left. \times R^* \int_{R_1}^{R_2} [(1+R^*) Z(r, t)]^m \frac{dr}{r^{2m-1}} \right], \quad (3.2)
\end{aligned}$$

где положено

$$Z(r, t) = \alpha_0 \int_0^r r' \frac{\partial \Delta T(r', t)}{\partial r'} dr'. \quad (3.3)$$

Решение (3.2) ищем в виде

$$A(t) = A_0(t) + \xi A_1(t) + \xi^2 A_2(t) + \dots \quad (3.4)$$

Подставляя (3.4) в (3.2), получим систему линейных интегральных уравнений Фредгольма второго рода. Если в (3.4) ограничиться двумя членами, то решением (3.2) будет

$$\begin{aligned}
A(t) = & A_0(t) + \frac{\xi}{2} \frac{3R_1 R_2^2}{R_2 - R_1^3} \left( \frac{E}{1-\nu} \right)^{m-2} \times \\
& \times \left\{ -\frac{R_2^{2m} - R_1^{2m}}{3m R_1^m R_2^m} K^* [(1+R^*) A_0(t)]^m = \right. \\
& + m K^* \left[ (1+R^*) A_0(t) \right]^{m-1} \left[ (1+R^*) Z(r, t) \frac{dr}{r^{2m-1}} \right] - \\
& - \frac{m(m-1)}{2!} K^* \left[ (1+R^*) A_0(t) \right]^{m-2} \left[ (1+R^*) Z(r, t) \right]^2 \frac{dr}{r^{2m-1}} + \dots + \\
& + (-1)^m m K^* \left[ (1+R^*) A_0(t) \right] \left[ (1+R^*) Z(r, t) \right]^{m-1} \frac{dr}{r^{2m-1}} \left. + \right. \\
& \left. + (-1)^{m-1} K^* \left[ (1+R^*) Z(r, t) \right]^m \frac{dr}{r^{2m-1}} \right\}, \quad (3.5)
\end{aligned}$$

где

$$A_0(t) = \frac{3R_1 R_2^2}{R_2 - R_1^3} \left\{ \frac{1-\nu}{E} (1-K^*) [q_2(t) - q_1(t)] + \int_{R_1}^{R_2} Z(r, t) \frac{dr}{r^2} \right\}, \quad (3.6)$$

$$K^{*v}(t) = \lambda \int_{z_1}^z \vartheta(z) \frac{\partial C(t, z)}{\partial z} dz. \quad (3.7)$$

При выводе (3.5) были использованы свойства резольвенты

$$\left. \begin{aligned} (1 - K^*)(1 - R^*) &= 1 \\ (1 - K^*)R^* &= K^* \end{aligned} \right\} \quad (3.8)$$

В случае отсутствия теплового потока будем иметь  $\lambda(r, t) \equiv 0$ . Запишем для этого случая сразу выражение

$$\begin{aligned} (1 + R^*)\Phi(A, r, t) &= \frac{3R_1R_2}{(R_2 - R_1)r} \left\{ q_2(t) - q_1(t) - \right. \\ &\left. \frac{3}{2m} \frac{3^{-1}(K_2^* - K_1^*)}{(R_2 - R_1)^2} R^* [q_2(t) - q_1(t)]^{(m)} \right\}. \end{aligned} \quad (3.9)$$

#### § 4. Точечный источник тепла в бесконечном массиве

Бесконечный массив может быть рассматриваем как сферический сосуд с незагруженными полостями радиусов  $R_1 = 0$  и  $R_2 = \infty$ . Из условия однозначности решения Паркусом [4] (стр. 32 и 107) было доказано, что в аналогичной упругой задаче перемещения во всяком случае растут, стремясь к бесконечности, не быстрее, чем  $\frac{1}{r}$ , а напряжения — не быстрее, чем  $\frac{1}{r^2}$ .

Применяя это к формуле (2.14), получим

$$A(t) = 3\lambda_0 \int_{r=0}^{\infty} r^2 \Delta T(r, t) dr. \quad (4.1)$$

Рассмотрим точечный источник тепла с периодически изменяющейся производительностью

$$S(t) = S_0 \cos \omega t.$$

Решением уравнения теплопроводности будет

$$T(r, t) = \frac{S_0}{4\pi r} e^{-\sqrt{\frac{m}{2a}} r} \cos\left(\omega t - \sqrt{\frac{m}{2a}} r\right), \quad (4.2)$$

где  $\lambda$  — коэффициент теплопроводности, а  $a$  — коэффициент температуропроводности.

Здесь получим

$$\begin{aligned} A(t) &= 0, \\ \Phi(A, r, t) &= -\frac{2ES_0 e^{-\sqrt{\frac{m}{2a}} r}}{4\pi\lambda(1-\nu)r} \left\{ \frac{1}{r} \sqrt{\frac{a}{2\omega}} \sin\left(\omega t - \sqrt{\frac{m}{2a}} r\right) + \right. \end{aligned}$$

$$+ \left[ \cos \left( \omega t - \sqrt{\frac{\omega}{2a}} r \right) - \frac{1}{r} \sqrt{\frac{2a}{\omega}} \sin \left( \omega t - \sqrt{\frac{\omega}{2a}} r \right) \right] \times \\ \times \left( 1 + 3 \sqrt{\frac{a}{2\omega}} \cdot \frac{1}{r} \right). \quad (4.3)$$

### § 5. Сферический сосуд с несжимаемой жидкостью

Будем считать перемещения точек сосуда равными нулю при температуре  $T_0$  и при отсутствии нагружения, когда  $R_1 = R_0$ . Пусть, кроме того, объем жидкости, которая должна быть заключена в сосуд, при  $T_0$  составляет  $V_0$ . В таком случае перемещение внутренней полости сосуда определится из формулы

$$u(r, t)|_{R_1} = \sqrt{\frac{3V_0}{4\pi}} [1 - \alpha_{ж}(T_{ж}(t) - T_0)] - R_0, \quad (5.1)$$

где  $\alpha_{ж}$  — коэффициент линейного расширения заключенной в сосуд жидкости, а

$$T_{ж}(t) = \frac{1}{V} \int_V T_{ж}(r, t) dV, \quad (5.2)$$

где  $T_{ж}(r, t)$  — поле температур в жидкости.

Подставляя (5.1) в (2.14), получим

$$\sigma_r|_{R_1} = \frac{1}{k} \left\{ \frac{1}{R_1} \sqrt{\frac{3V_0}{4\pi}} \left[ 1 + \alpha_{ж} \left( \frac{1}{V} \int_V T_{ж}(r, t) dV - T_0 \right) \right] - \right. \\ \left. - \frac{R_0}{R_1} - \frac{3\alpha_0}{R_1} \left[ \int_0^{R_1} r^2 \Delta T(r, t) dr \right] \right\} - \frac{A(t)}{k_1}. \quad (5.3)$$

Здесь можно принять  $\alpha_{ж} = \alpha_0(t)$  и подставить это в (3.2) для определения  $A(t)$ . То обстоятельство, что  $\alpha_0(t)$  будет зависеть от  $A(t)$ , приведет к наличию соответствующего коэффициента при  $R^*$  в первом члене левой части (3.2), и полученное уравнение решится аналогичным образом.

Задача существенно упрощается, если принять несжимаемость материала сосуда, т. е. принять  $k = 0$ . Тогда (2.14) и (5.1) сразу дадут

$$A(t) = R_1^3 \left\{ \sqrt{\frac{3V_0}{4\pi}} \left[ 1 - \alpha_0 \left( \frac{1}{V} \int_V T_{ж}(r, t) dV - T_0 \right) \right] - R_0 \right\} - \\ - 3\alpha_0 \left[ \int_0^{R_1} r^2 \Delta T(r, t) dr \right]. \quad (5.4)$$

Если при  $T_0$  никаких напряжений в наполненном сосуде не было, а затем температура изменялась настолько медленно, что можно в каждый момент времени все точки сосуда считать одинаково нагретыми, то вместо (5.4) будем иметь

$$A(t) = R_1^2 (\alpha_0 - \alpha_0) (T(t) - T_0). \quad (5.5)$$

Формула (5.5) верна и для жесткого шара, вкрапленного в массив.

### § 6. Тонкостенный сферический сосуд

Как было показано выше, решение задачи о толстостенном сосуде под действием теплового потока и давлений на полости дается формулами (2.27)–(2.29), где  $\Phi(A, r, t)$  берется из (2.17), а  $A(t)$  — из (3.5) с подстановкой  $A_0(t)$  из (3.6),  $B(t)$  же определяется из удовлетворения одному из краевых условий. Поскольку практическое применение этого решения затруднительно, постараемся дать приближенное решение, которое оказывается тем точнее, чем тоньше стенки сосуда. Для этого будем пренебрегать  $\varepsilon_r(r, t)$ , а кроме того, положим, что  $\varepsilon_r(r, t)$  получает свое среднее значение в сфере радиуса

$$R_{cp} = \frac{R_2 - R_1}{2}.$$

В таком случае, имея из (2.28)

$$\varepsilon_r(r, t) = \frac{1}{2} \left[ (1 + R^*) \Phi(A, r, t) - \frac{3}{2} R^* [(1 + R^*) \Phi(A, r, t)]^m \right], \quad (6.1)$$

уравнение (3.1) можем записать в виде

$$\varepsilon_r(R_{cp}, t) = \frac{1}{2} \varepsilon_r(R_{cp}, t) - \frac{R_{cp}}{2(R_2 - R_1)} [q_2(t) - q_1(t)]. \quad (6.2)$$

Подставляя (6.2) и (2.17) в (2.15), при  $r = R_{cp}$  получим

$$\begin{aligned} A(t) = & \frac{1-\nu}{E} R_{cp}^3 \frac{q_2(t) - q_1(t)}{R_2 - R_1} - \nu \frac{R_{cp}^3 (1-\nu)}{E(R_2 - R_1)} \int [q_2(\tau) - q_1(\tau)] \times \\ & \times \frac{\partial C(t, \tau)}{\partial \tau} d\tau - \nu \frac{R_{cp}^{3-m} (1-\nu)}{E(R_2 - R_1)^m} \int [q_2(\tau) - q_1(\tau)]^m \times \\ & \times \frac{\partial C(t, \tau)}{\partial \tau} d\tau + \gamma(R_{cp}, t), \end{aligned} \quad (6.3)$$

где  $\gamma(r, t)$  берется по формуле (3.3).

В качестве примера рассмотрим находящуюся в некотором центрально-симметричном стационарном температурном поле ненагруженную бетонную оболочку, повороты сечений которой фиксированы (оболочка может быть и армированной посередине сечения материалом, имеющим то же  $\nu$ ).

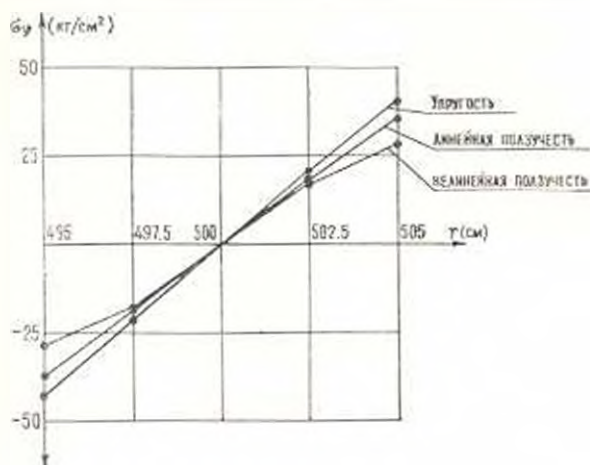
Принимая

$$C(t, \tau) = C_0 (1 - e^{-\beta(t-\tau)})$$

и используя (6.1) и (6.3), получим приближенную формулу для вычисления  $\varepsilon_\gamma$

$$\begin{aligned} \varepsilon_\gamma(r, t) = & \frac{\Phi(A, r)}{2} \left[ 1 - \frac{\lambda C_0}{1 + \lambda C_0} (1 - e^{-2\lambda(1+\lambda C_0)(t-\tau_1)}) \right] - \\ & - \frac{\xi}{2\lambda} \Phi''(A, r) \left[ \frac{\lambda C_0}{1 + \lambda C_0} (1 - e^{-2\lambda(1+\lambda C_0)(t-\tau_1)}) - \right. \\ & \left. - m \left( \frac{\lambda C_0}{1 + \lambda C_0} \right)^2 (1 - e^{-2\lambda(1+\lambda C_0)(t-\tau_1)}) - \frac{m(\lambda C_0)^2}{1 + \lambda C_0} e^{-2\lambda(1+\lambda C_0)(t-\tau_1)} \right] \end{aligned} \quad (6.4)$$

Результаты вычислений для  $E = 210000 \text{ кг/см}^2$ ,  $m = 4$ ,  $\alpha = 0,999995$ ,  $\beta = 5 \cdot 10^{-6} (\text{кг/см}^2)^{-1}$ ,  $C_0 = 0,28 \cdot 10^{-3} \text{ см}^2/\text{кг}$ ,  $\tau_1 = 0,03 \text{ 1/день}$ ,  $\nu = 0,25$ ,  $\alpha_0 = 12 \cdot 10^{-3} \text{ 1/град}$ ,  $R_0 = 500 \text{ см}$ ,  $R_2 = R_1 = 10 \text{ см}$ ,  $T_2 = T_1 = 50^\circ$  приведены в таблице 1 и графически изображены на фиг. 1.



Фиг. 1. Значения  $\varepsilon_\gamma$  при  $t = \tau_1$ .

Таблица

Значения $\varepsilon_\gamma(r, t)$		Значения $t - \tau_1$ (дн.)			
		0	10	30	$\infty$
$r$ (см)					
495		13.07	41.30	-39.24	-37.20
				40.96	36.96
497.5		21.27	20.42	-19.40	-18.39
				-20.40	-19.26
500		0	0	0	0
502.5		20.73	19.90	18.90	17.91
				19.88	18.78
505		40.97	39.35	37.35	35.40
				39.07	35.48

В табл. 1 верхние значения соответствуют линейной ползучести, а нижние — нелинейной.

Легко видеть, что эффект от нелинейной ползучести проявляется лишь по истечении значительного времени.

Институт математики и механики  
АН Армянской ССР

Поступила 26 III 1966

Ա. Մ. ՍԻՄՈՆԻԱՆ

ՈՉ ԳՈՒՅԻՆ ԺԱՌԱՆԳՈՒԿԱՆՈՒԹՅԱՆ ՄԻ ՔԱՆԻ ԿԻՆՏՐՈՆԱԼՈՒԲԵՏՐԻԿ  
ՋԵՐՄԱՅԻՆ ԽՆԴԻՐՆԵՐ

Ա. մ. ֆ. ո. ֆ. ո. ֆ.

Աշխատության մեջ դիտարկված են ոչ դժային մասանդակաճանաչական տեսության կենտրոնատիվների ջերմային մի բանի խնդիրներ՝ ջերմության կետային աղբյուր ունեցող անսահման մարմնի, խնայեա նստ ջերմային հոսքի աղղղություն տակ գտնվող զնդածև անոթների համար:

Ստացված ոչ դժային խնտկրայ հայասարտմները լուծված են [2] աշխատանքում շարադրված մեթոդով: Լուծումները արված են կամայական ջերմունակությամ հոսքի և Պոասոնի գործակցի կամայական արժեքների համար:

Բարակապատ անոթի ղեպքում կատարված են պարզեցնող հետևյալ երկու բնդունելություններ՝

- ա) առավղային  $\nu$  լարումը արհամարելի փոքր է.
- բ) ջրգանային  $\nu$  լարումը զնդածև անոթի միջին մակերևույթում բնդունում է միջին արժեք:

A. M. SIMONIAN

SOME TEMPERATURE CENTRAL SYMETRICAL PROBLEMS  
OF NON-LINEAR HEREDITY

S u m m a r y

In the present paper the following problems have been investigated.

1. Thick wall spherical vessels under the influence of heat flow and pressure on the surface.
2. Point source of heat in a massive.
3. Spherical vessels with incompressible fluids.
4. Thin wall spherical vessels.

The method for solving non-linear Wolker's integral equations of the second type which is proposed in paper [2] is also used in this article.

## Л И Т Е Р А Т У Р А

1. Арутюнян Н. Х. Некоторые вопросы теории ползучести. Гостехтеоретиздат, М—Л., 1952.
2. Александрия Р. А., Арутюнян Н. Х., Манукян М. М. Кручение тонкостенных стержней замкнутого профиля в условиях неустановившейся ползучести. ПММ, № 6, 1958.
3. Арутюнян Н. Х., Манукян М. М. Ползучесть сферического сосуда. Докл. АН Арм.ССР, 27, № 4, 1958.
4. Паркус Г. Неустановившиеся температурные напряжения. Физматгиз, М., 1963.
5. Симонян А. М. О двух температурных задачах пластической наследственности. Известия АН Арм.ССР, Механика, № 1, 1966.